

DIAGRAMAS DE INTERACCIÓN

(PARTE II)

**RESISTENCIA DE SECCIONES RECTANGULARES
CON ARMADURAS IGUALES EN SUS CUATRO
LADOS SOMETIDAS A FLEXIÓN COMPUESTA**

DIAGRAMA DE INTERACCIÓN

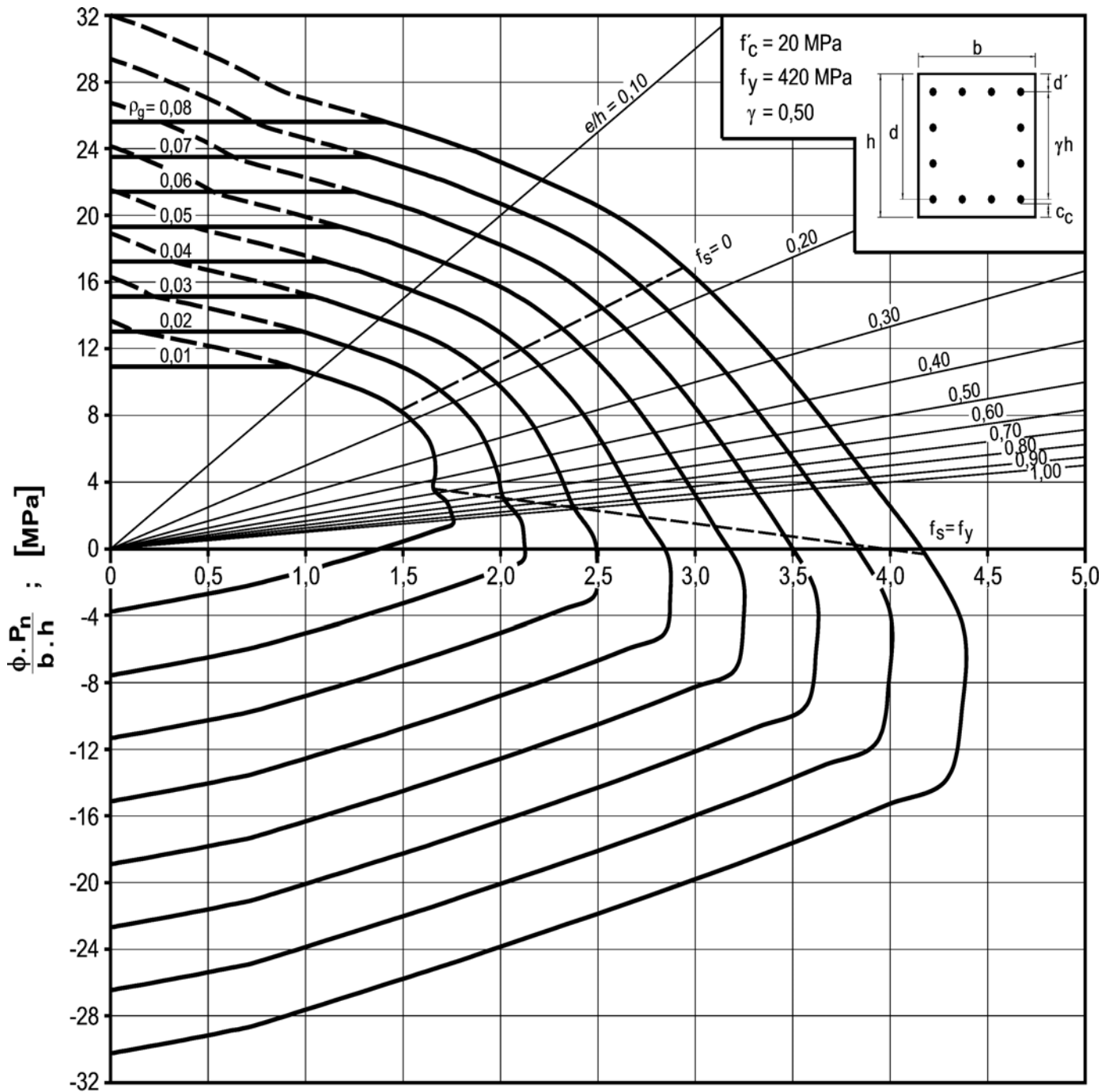


DIAGRAMA II.1

Diagrama de interacción de la resistencia de secciones rectangulares con barras en sus cuatro lados. $f'_c = 20 \text{ MPa}$ y $\gamma = 0,50$.

DIAGRAMA DE INTERACCIÓN

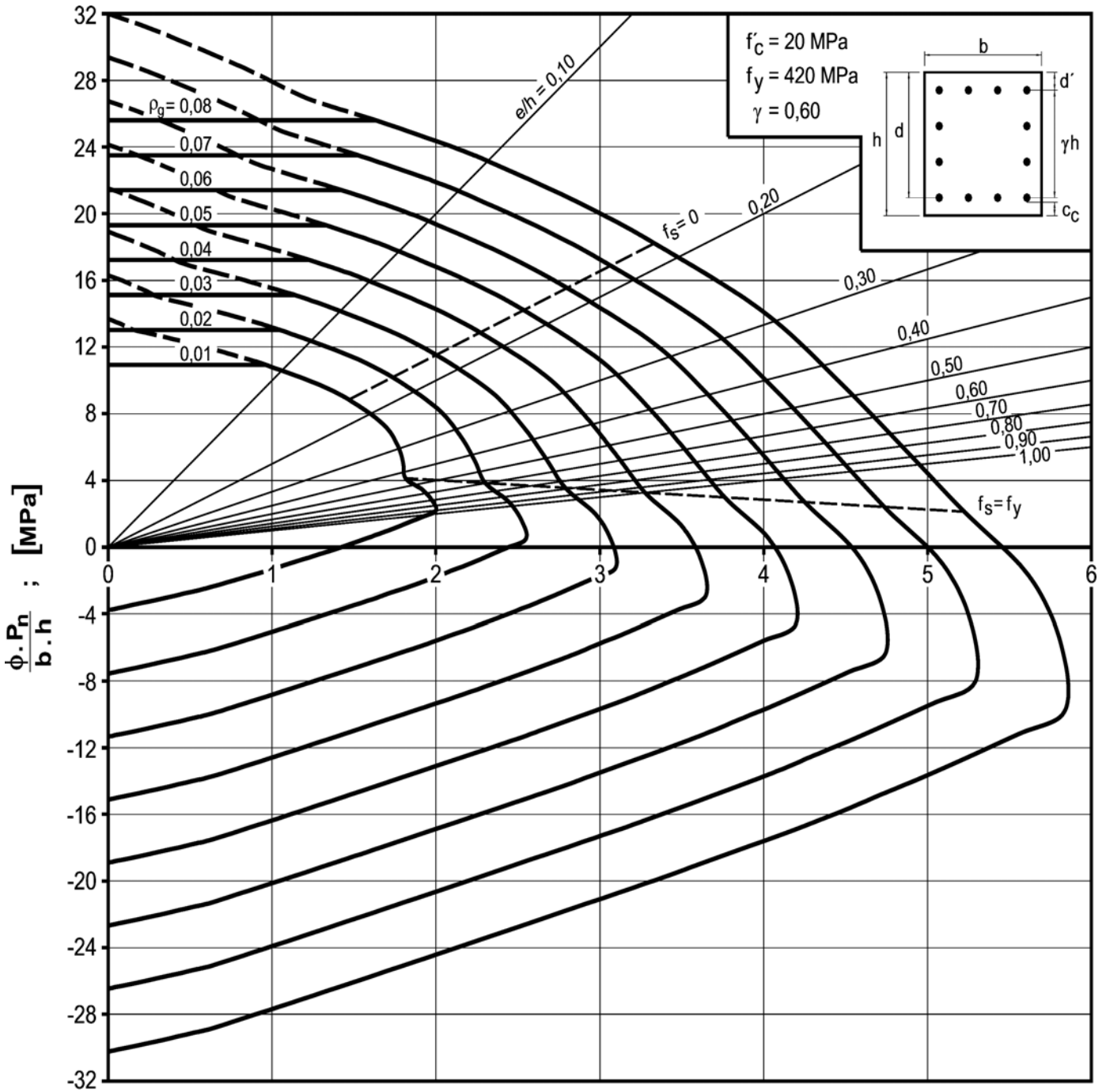


DIAGRAMA II.2

Diagrama de interacción de la resistencia de secciones rectangulares con barras en sus cuatro lados. $f'_c = 20 \text{ MPa}$ y $\gamma = 0,60$.

DIAGRAMA DE INTERACCIÓN

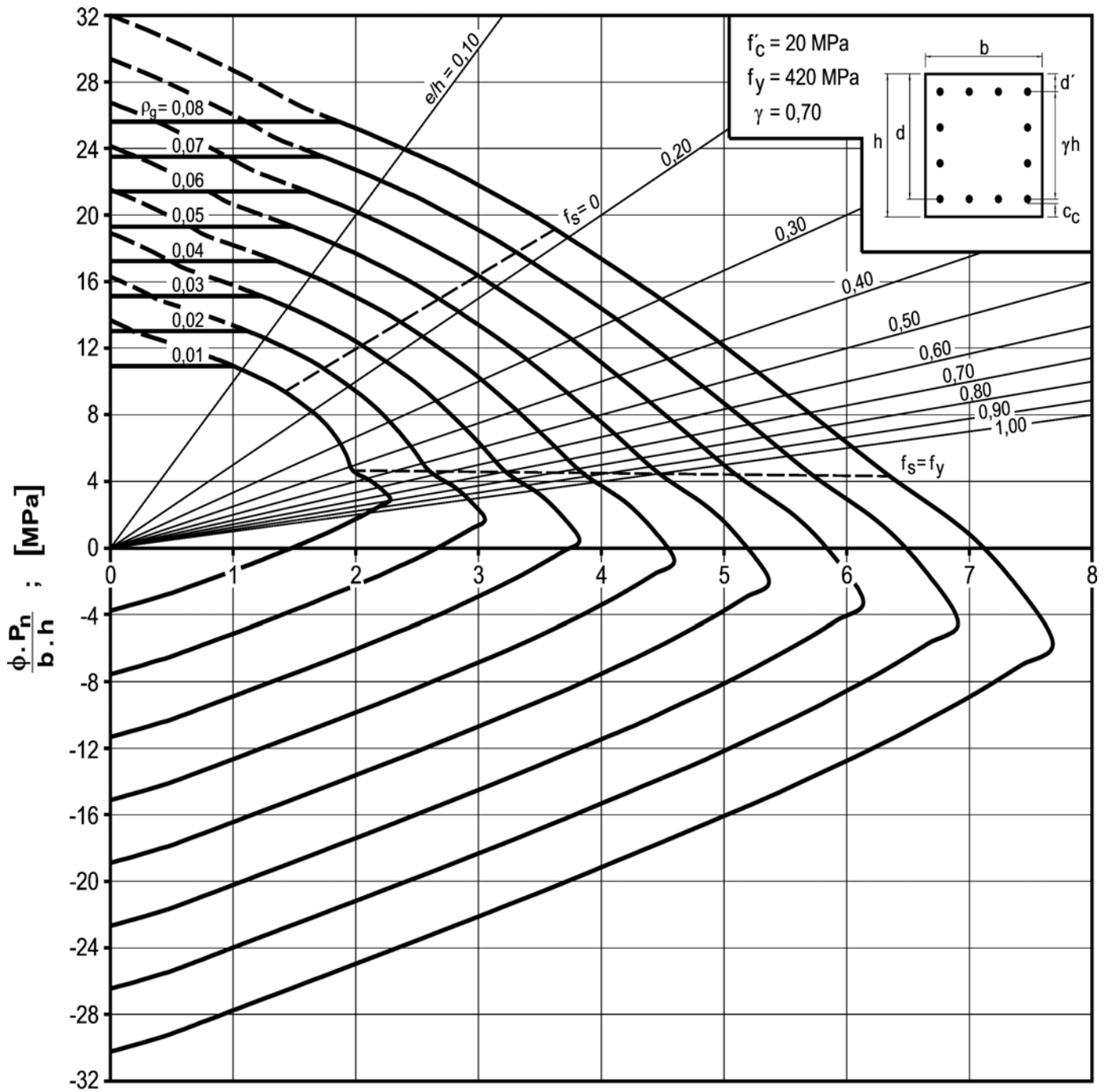
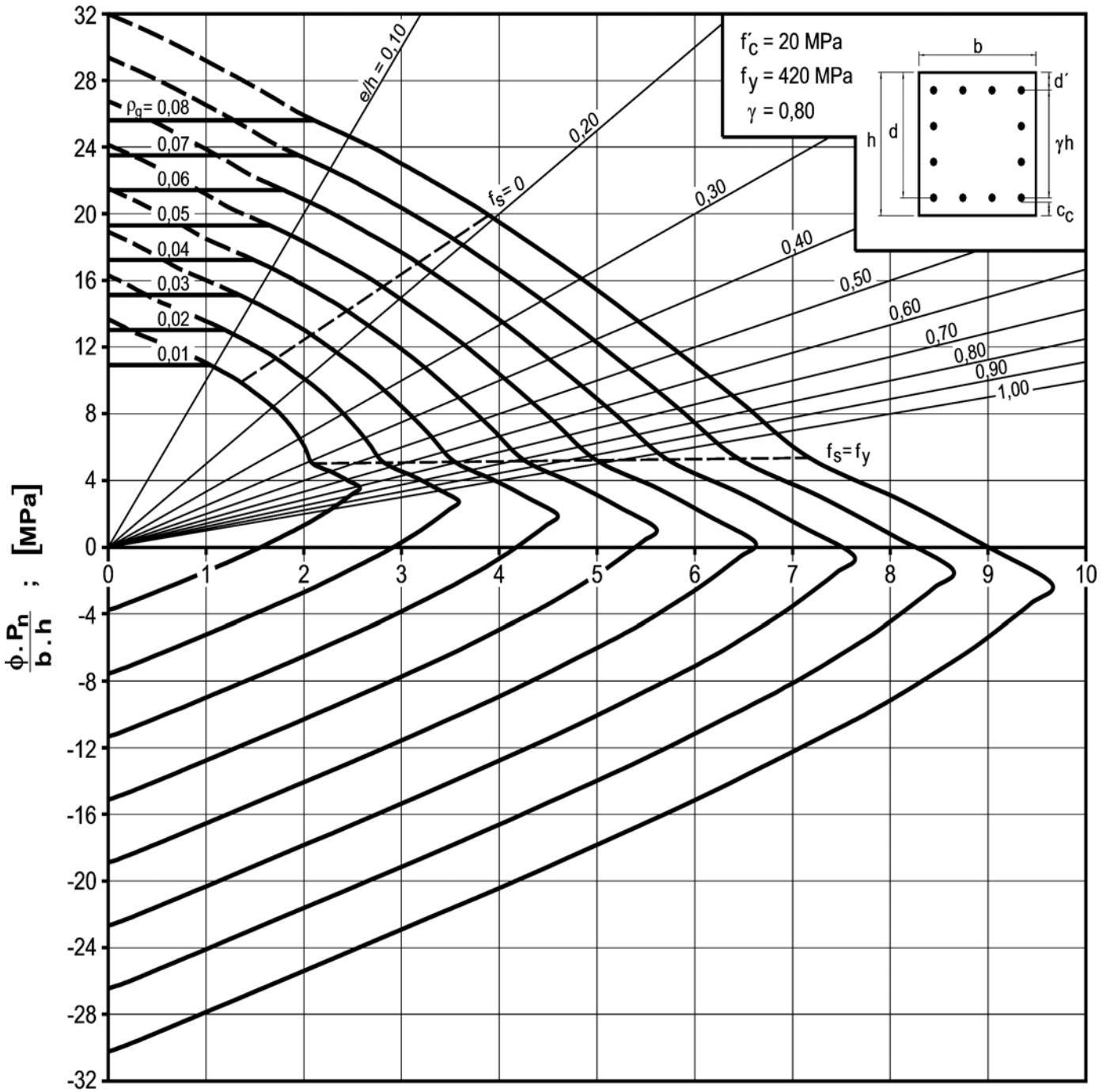


DIAGRAMA II.3

Diagrama de interacción de la resistencia de secciones rectangulares con barras en sus cuatro lados. $f'_c = 20 \text{ MPa}$ y $\gamma = 0,70$.

DIAGRAMA DE INTERACCIÓN

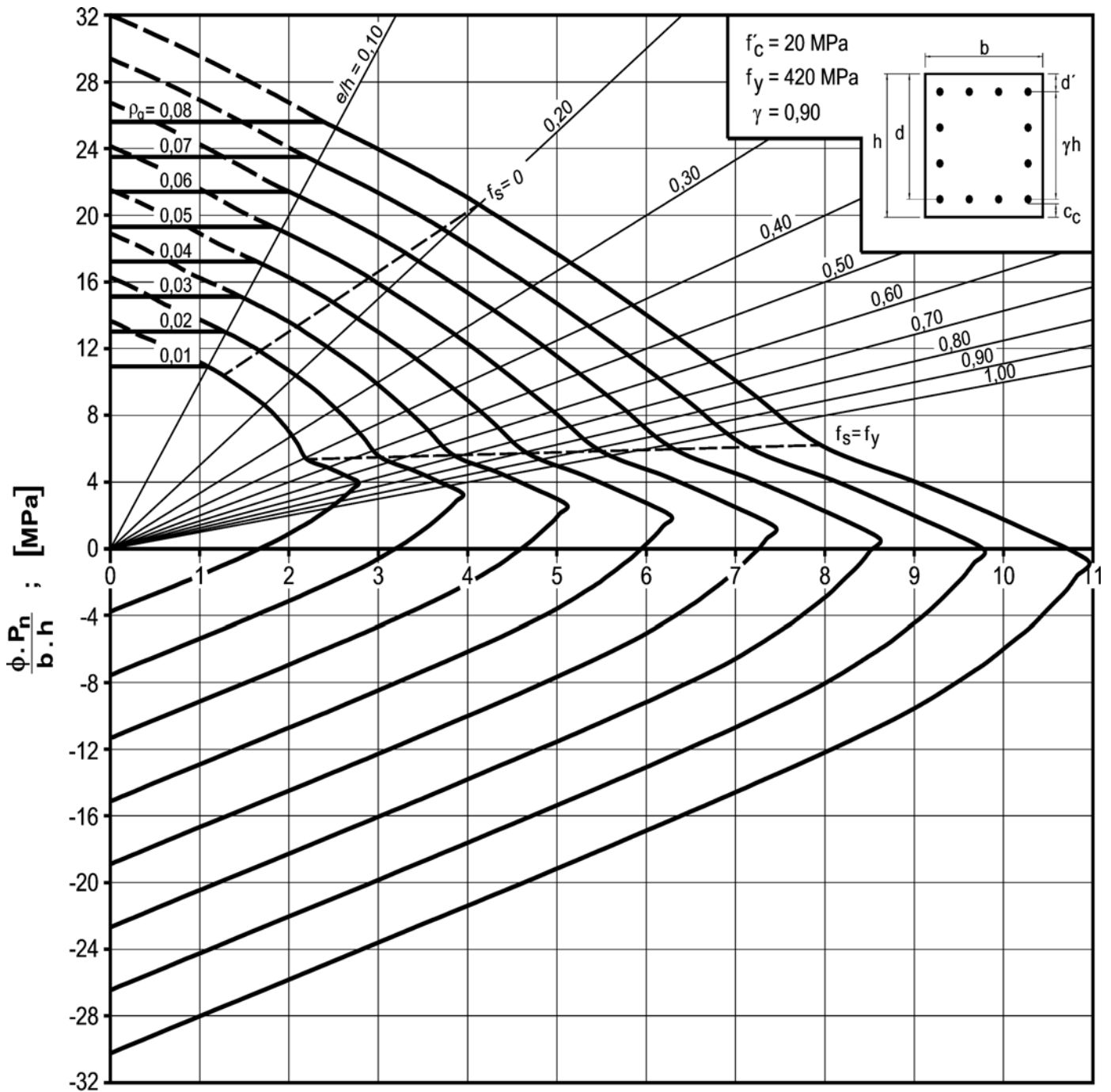


$$\frac{\phi \cdot P_n \cdot e}{A_g} = \frac{\phi \cdot M_n}{b \cdot h^2} ; \text{ [MPa]}$$

DIAGRAMA II.4

Diagrama de interacción de la resistencia de secciones rectangulares con barras en sus cuatro lados. $f'_c = 20 \text{ MPa}$ y $\gamma = 0,80$.

DIAGRAMA DE INTERACCIÓN



$$\frac{\phi \cdot P_n \cdot e}{A_g \cdot h} = \frac{\phi \cdot M_n}{b \cdot h^2} ; \text{ [MPa]}$$

DIAGRAMA II.5

Diagrama de interacción de la resistencia de secciones rectangulares con barras en sus cuatro lados. $f'_c = 20 \text{ MPa}$ y $\gamma = 0,90$.

DIAGRAMA DE INTERACCIÓN

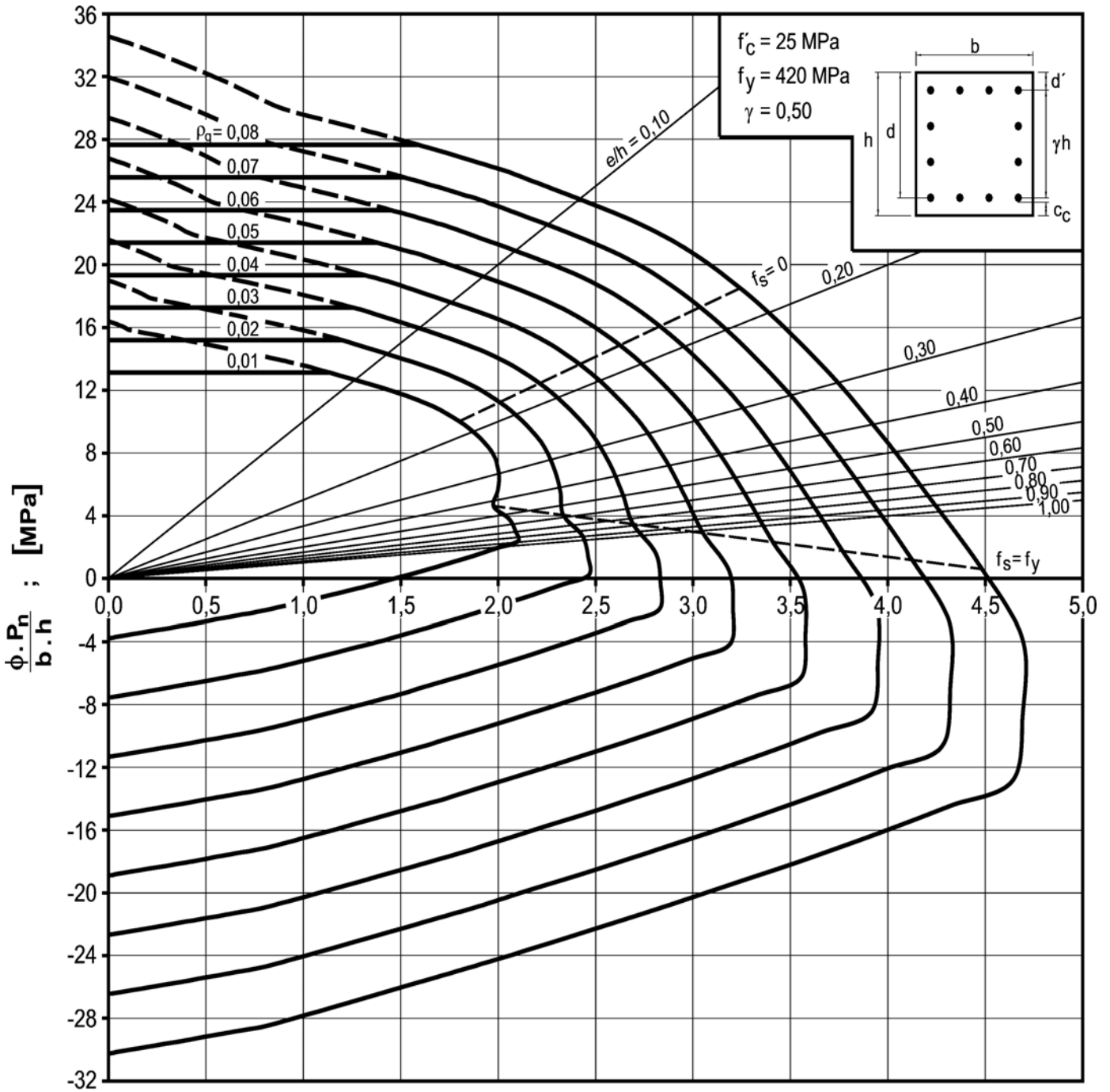
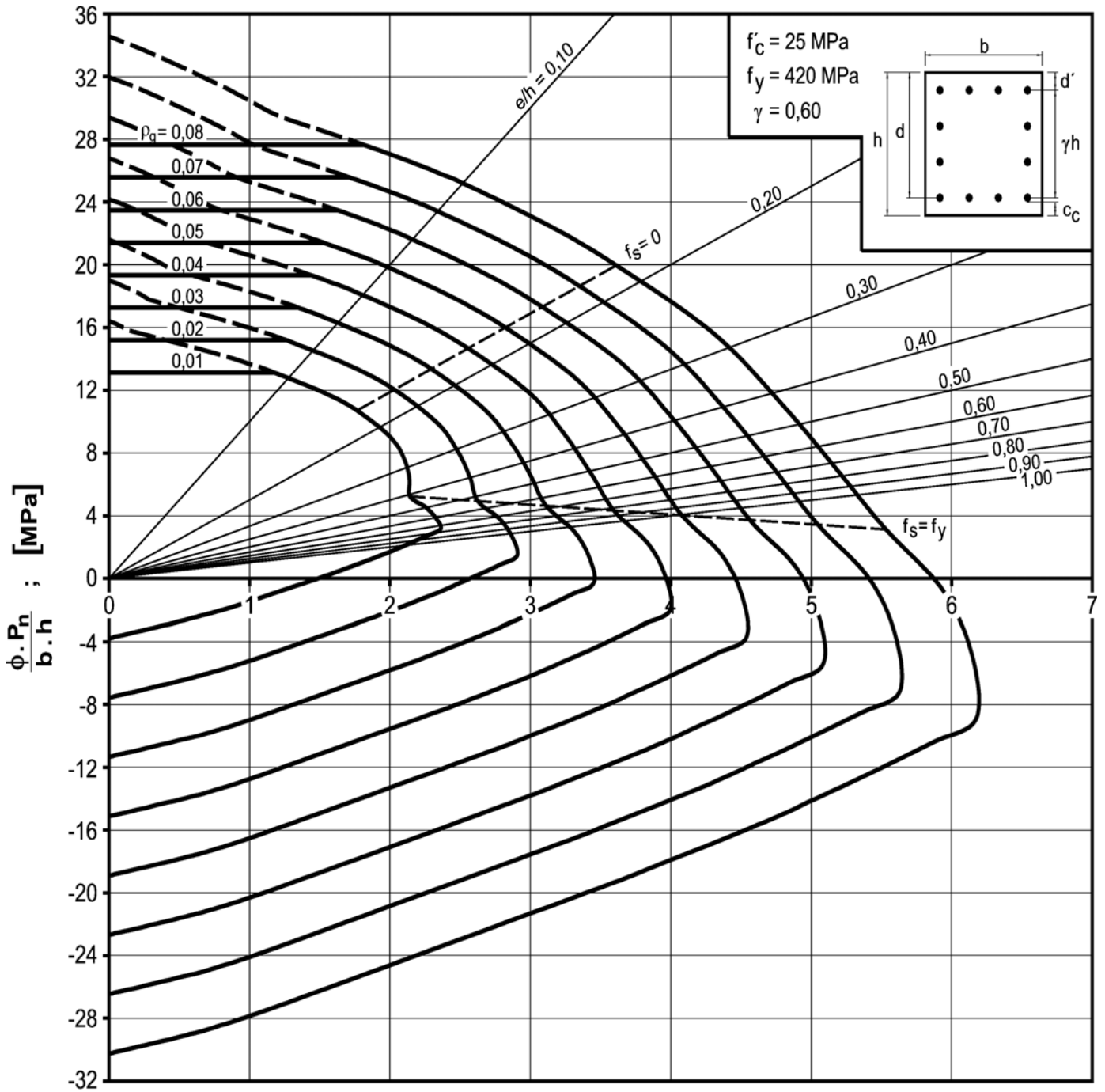


DIAGRAMA II.6

Diagrama de interacción de la resistencia de secciones rectangulares con barras en sus cuatro lados. $f'_c = 25 \text{ MPa}$ y $\gamma = 0,50$.

DIAGRAMA DE INTERACCIÓN

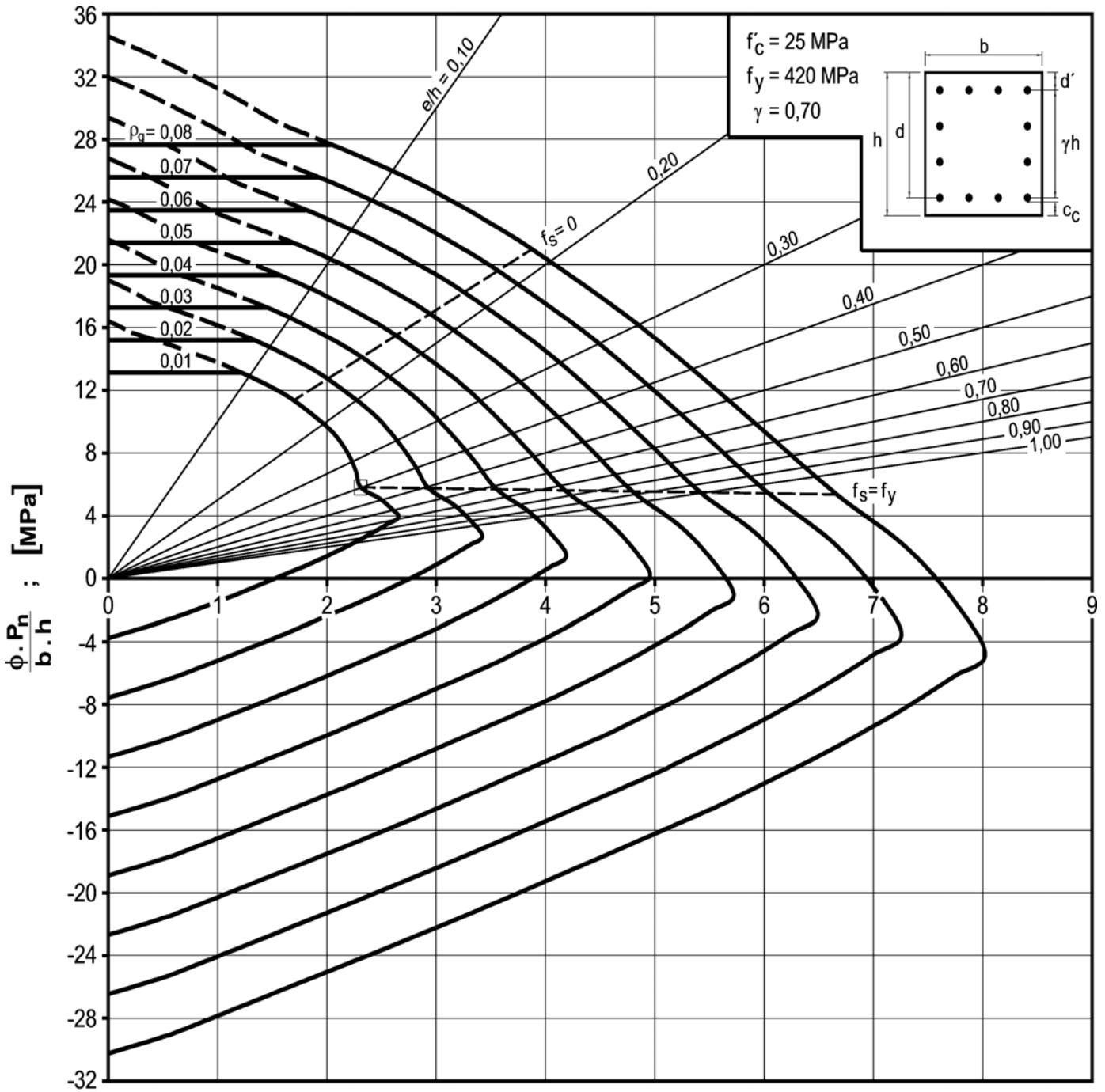


$$\frac{\phi \cdot P_n}{A_g} \cdot \frac{e}{h} = \frac{\phi \cdot M_n}{b \cdot h^2} ; \text{ [MPa]}$$

DIAGRAMA II.7

Diagrama de interacción de la resistencia de secciones rectangulares con barras en sus cuatro lados. $f'_c = 25 \text{ MPa}$ y $\gamma = 0.60$.

DIAGRAMA DE INTERACCIÓN

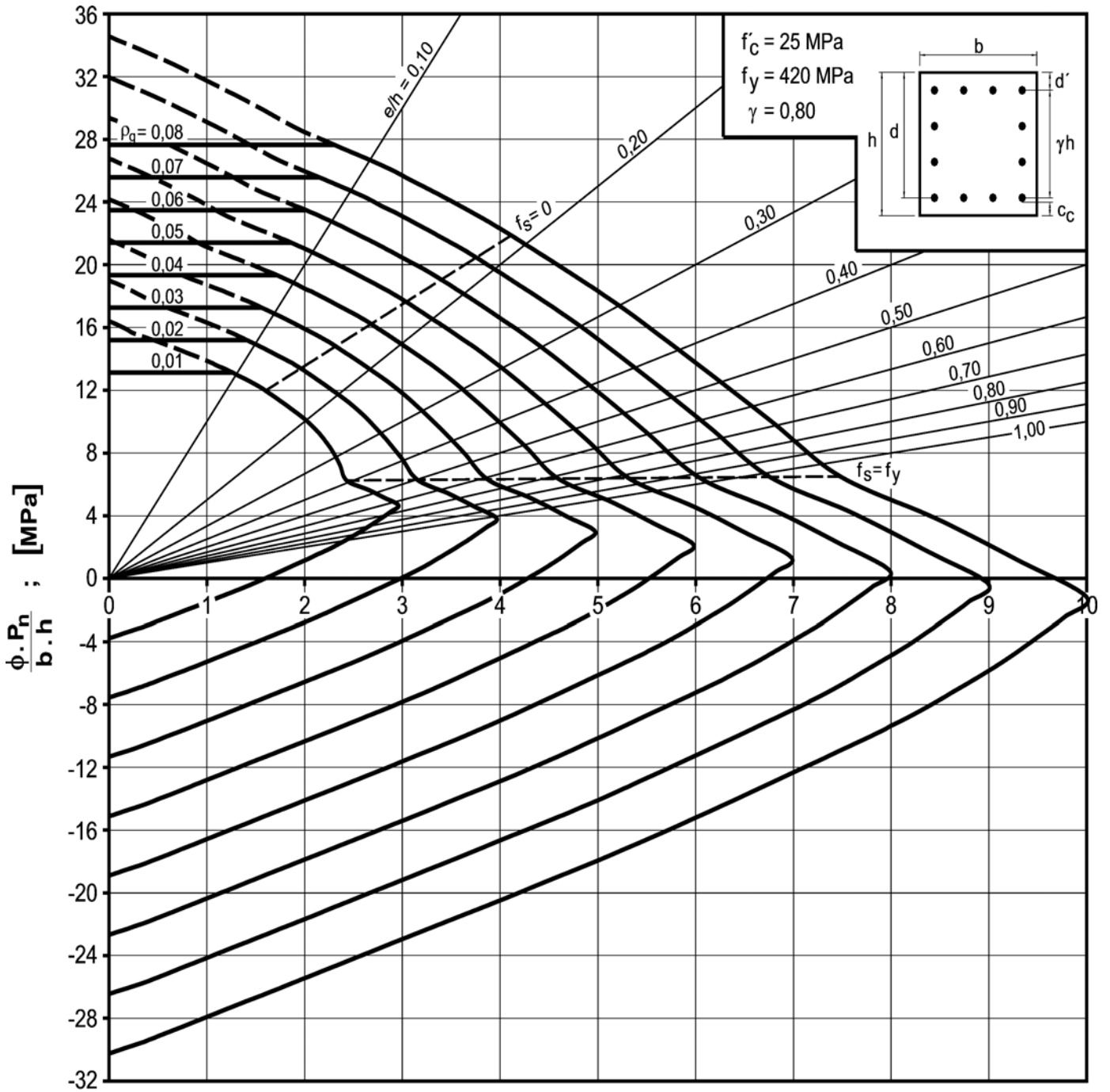


$$\frac{\phi \cdot P_n \cdot e}{A_g \cdot h} = \frac{\phi \cdot M_n}{b \cdot h^2} ; \text{ [MPa]}$$

DIAGRAMA II.8

Diagrama de interacción de la resistencia de secciones rectangulares con barras en sus cuatro lados. $f'_c = 25$ MPa y $\gamma = 0,70$.

DIAGRAMA DE INTERACCIÓN

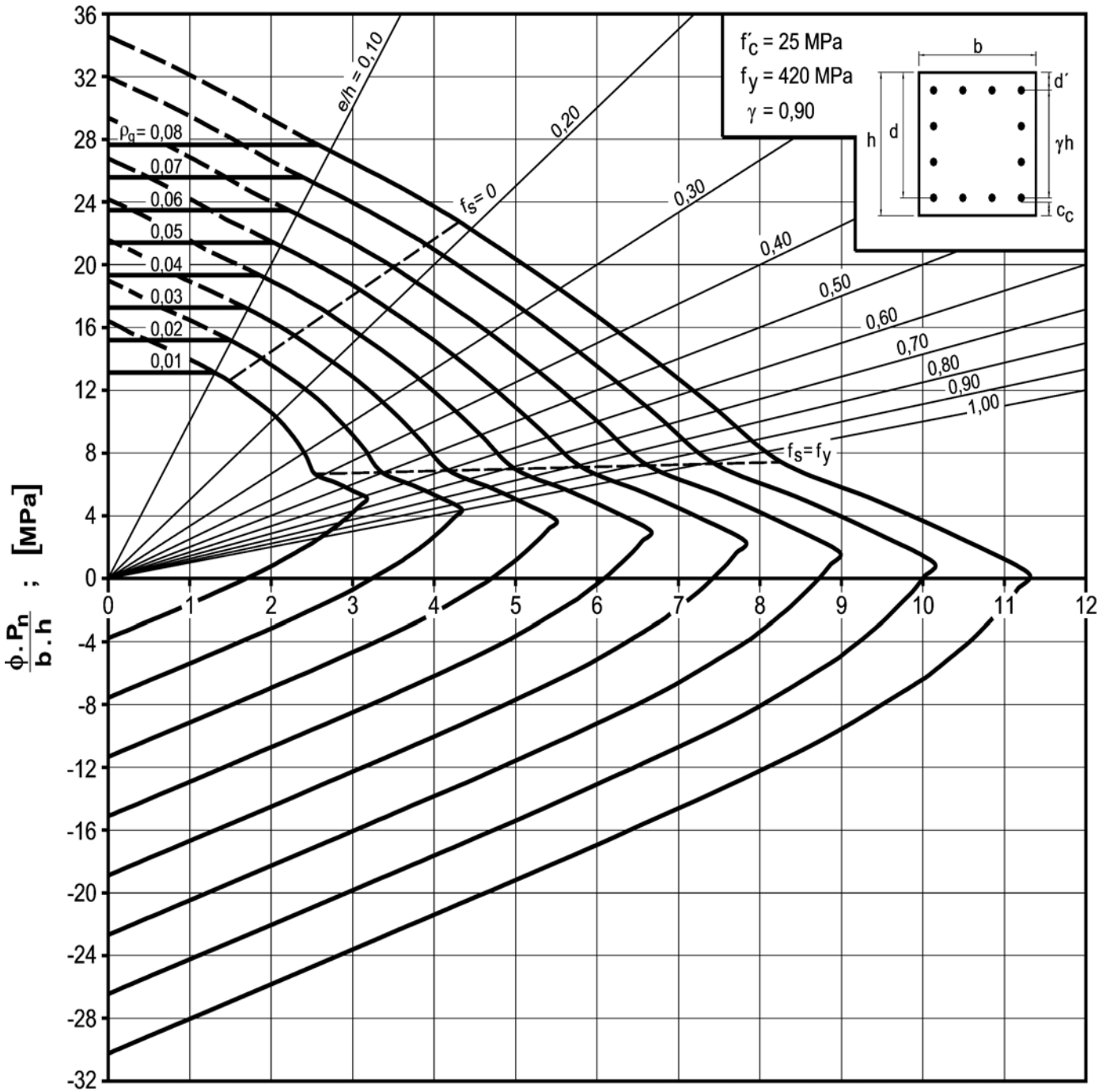


$$\frac{\phi \cdot P_n \cdot e}{A_g \cdot h} = \frac{\phi \cdot M_n}{b \cdot h^2} ; [\text{MPa}]$$

DIAGRAMA II.9

Diagrama de interacción de la resistencia de secciones rectangulares con barras en sus cuatro lados. $f'_c = 25 \text{ MPa}$ y $\gamma = 0,80$.

DIAGRAMA DE INTERACCIÓN



$$\frac{\phi \cdot P_n \cdot e}{A_g} = \frac{\phi \cdot M_n}{b \cdot h^2} ; \text{ [MPa]}$$

DIAGRAMA II.10

Diagrama de interacción de la resistencia de secciones rectangulares con barras en sus cuatro lados. $f'_c = 25 \text{ MPa}$ y $\gamma = 0,90$.

DIAGRAMA DE INTERACCIÓN

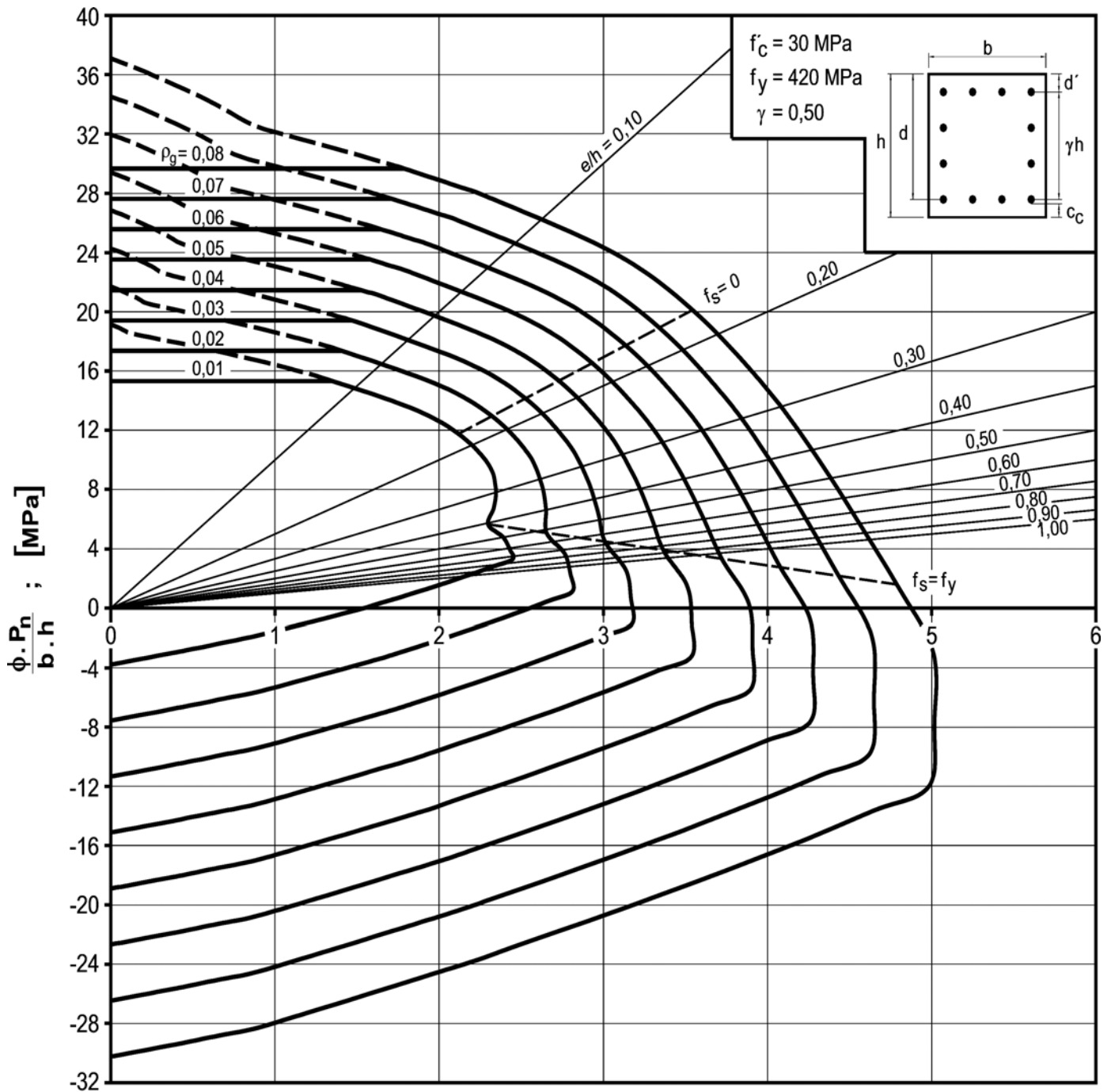


DIAGRAMA II.11

Diagrama de interacción de la resistencia de secciones rectangulares con barras en sus cuatro lados. $f_c = 30 \text{ MPa}$ y $\gamma = 0,50$.

DIAGRAMA DE INTERACCIÓN

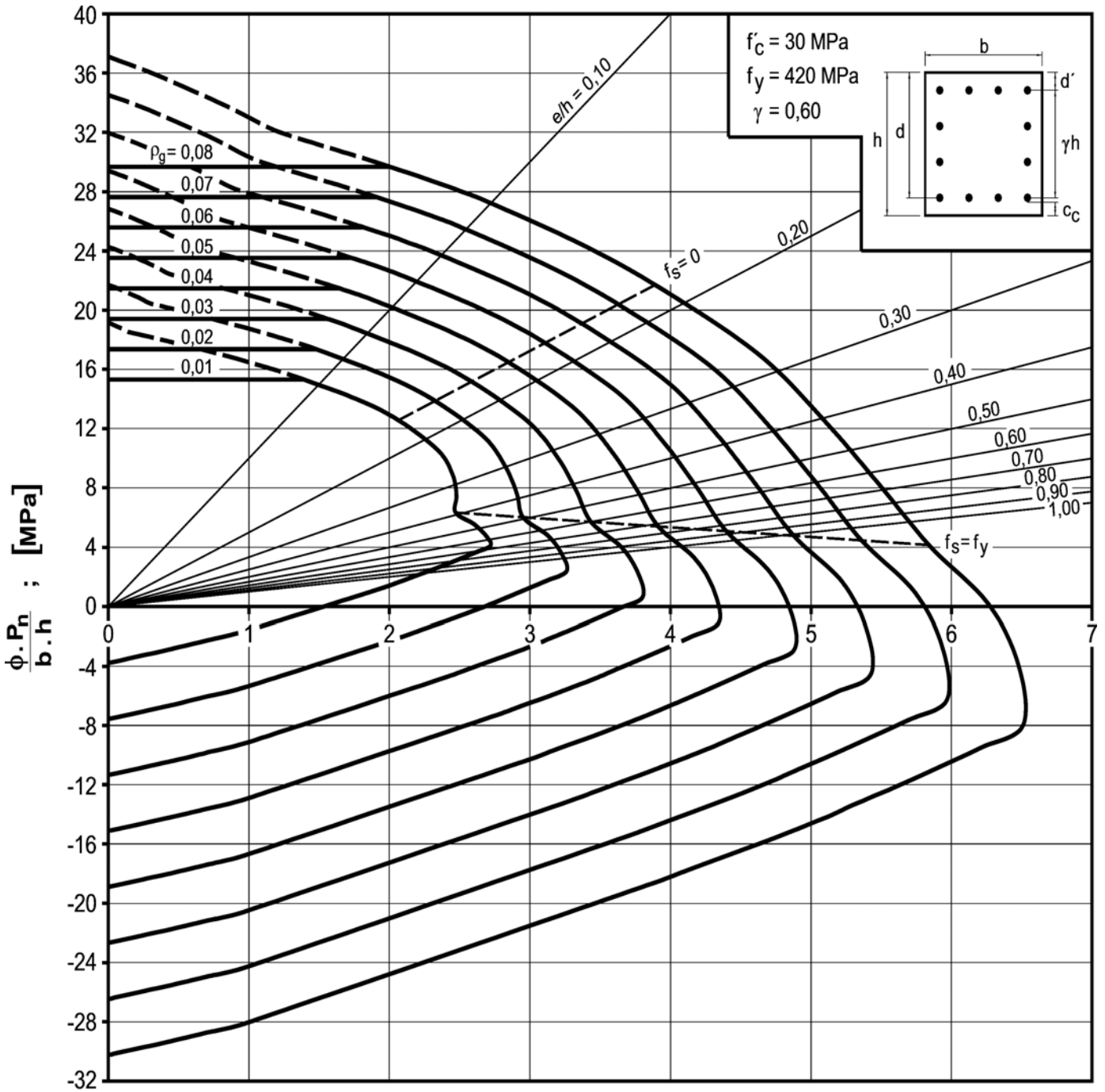
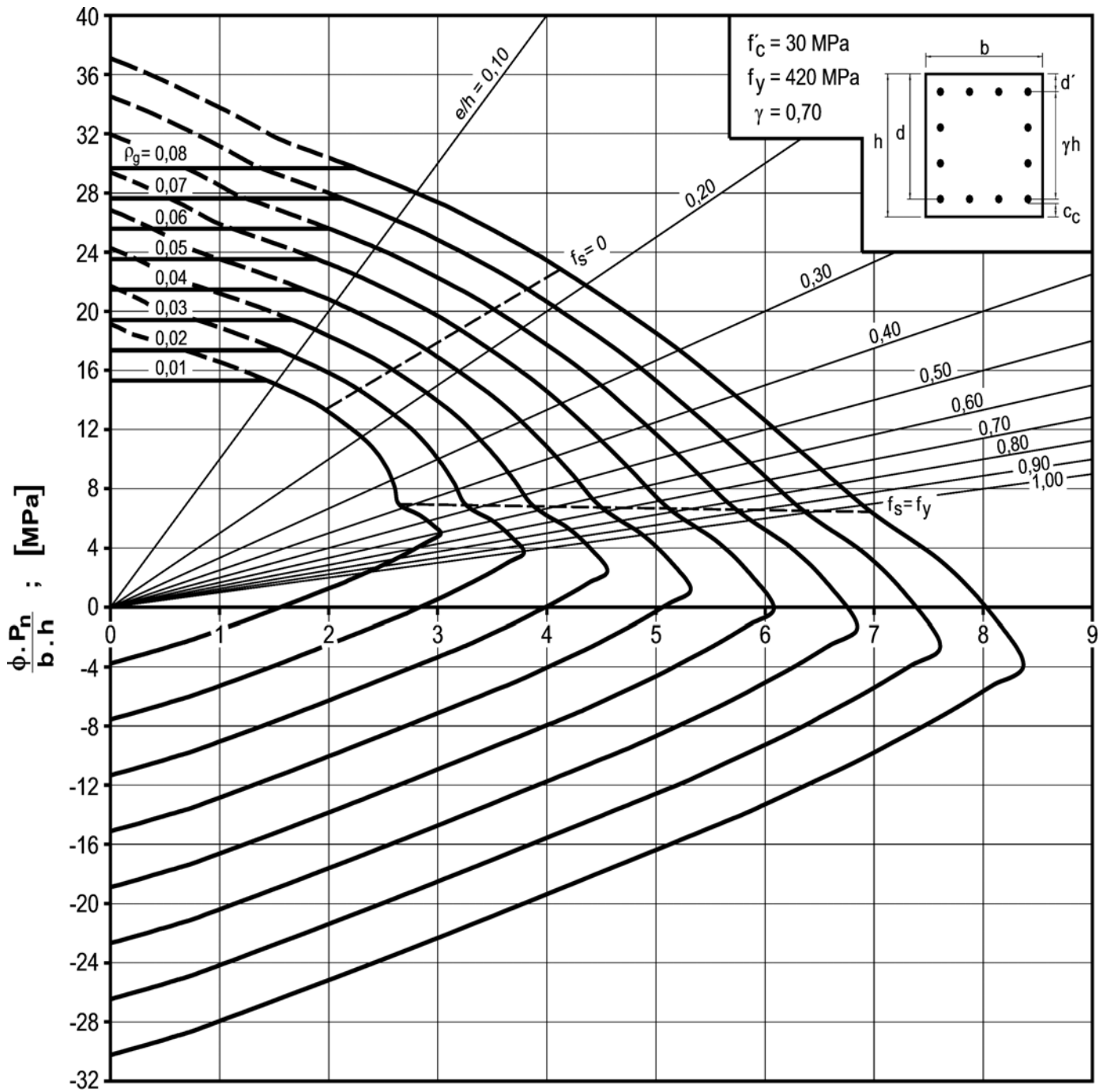


DIAGRAMA II.12

Diagrama de interacción de la resistencia de secciones rectangulares con barras en sus cuatro lados. $f'_c = 30 \text{ MPa}$ y $\gamma = 0,60$.

DIAGRAMA DE INTERACCIÓN

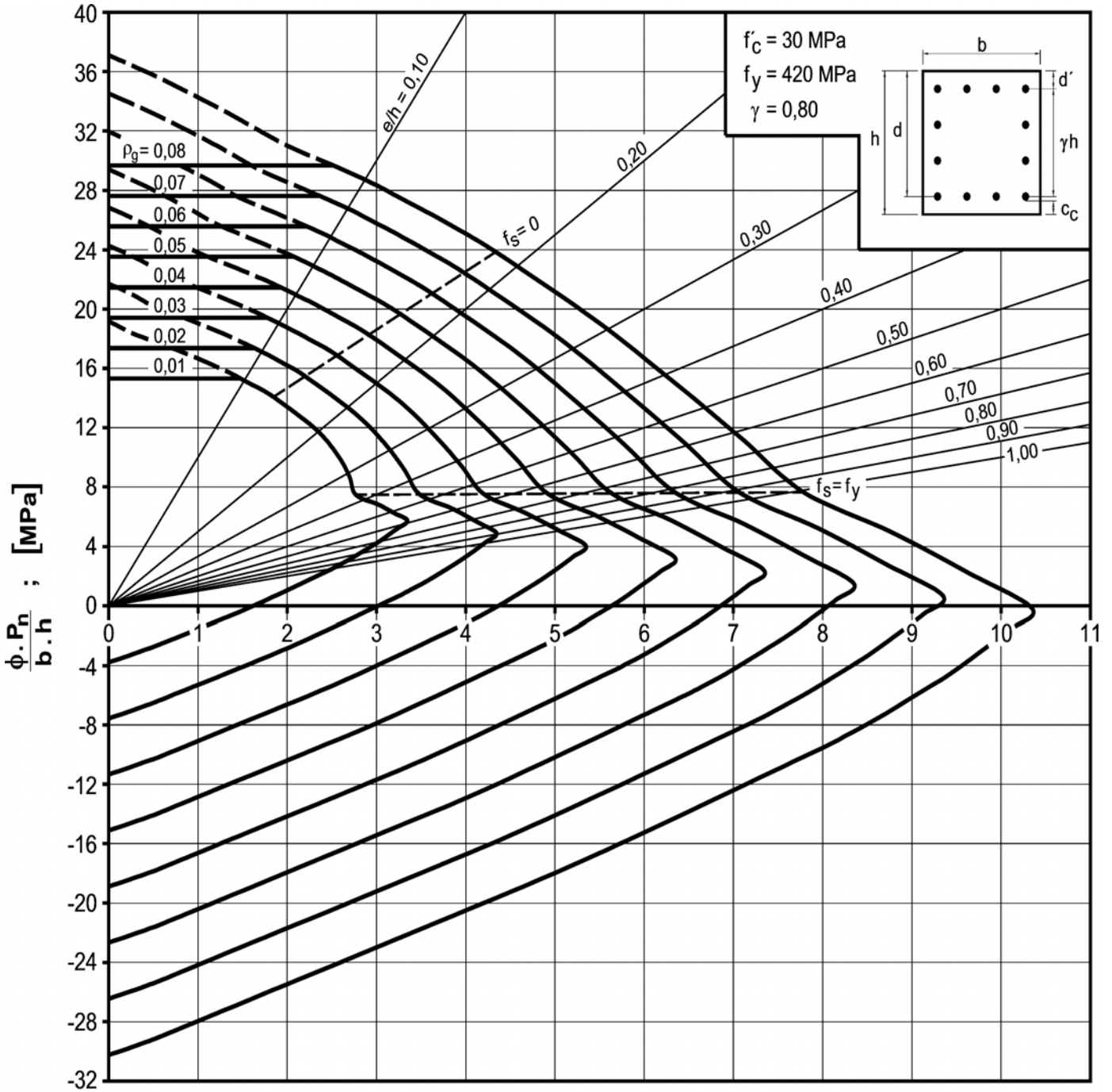


$$\frac{\phi \cdot P_n \cdot e}{A_g} = \frac{\phi \cdot M_n}{b \cdot h^2} ; [\text{MPa}]$$

DIAGRAMA II.13

Diagrama de interacción de la resistencia de secciones rectangulares con barras en sus cuatro lados. $f'_c = 30 \text{ MPa}$ y $\gamma = 0,70$.

DIAGRAMA DE INTERACCIÓN

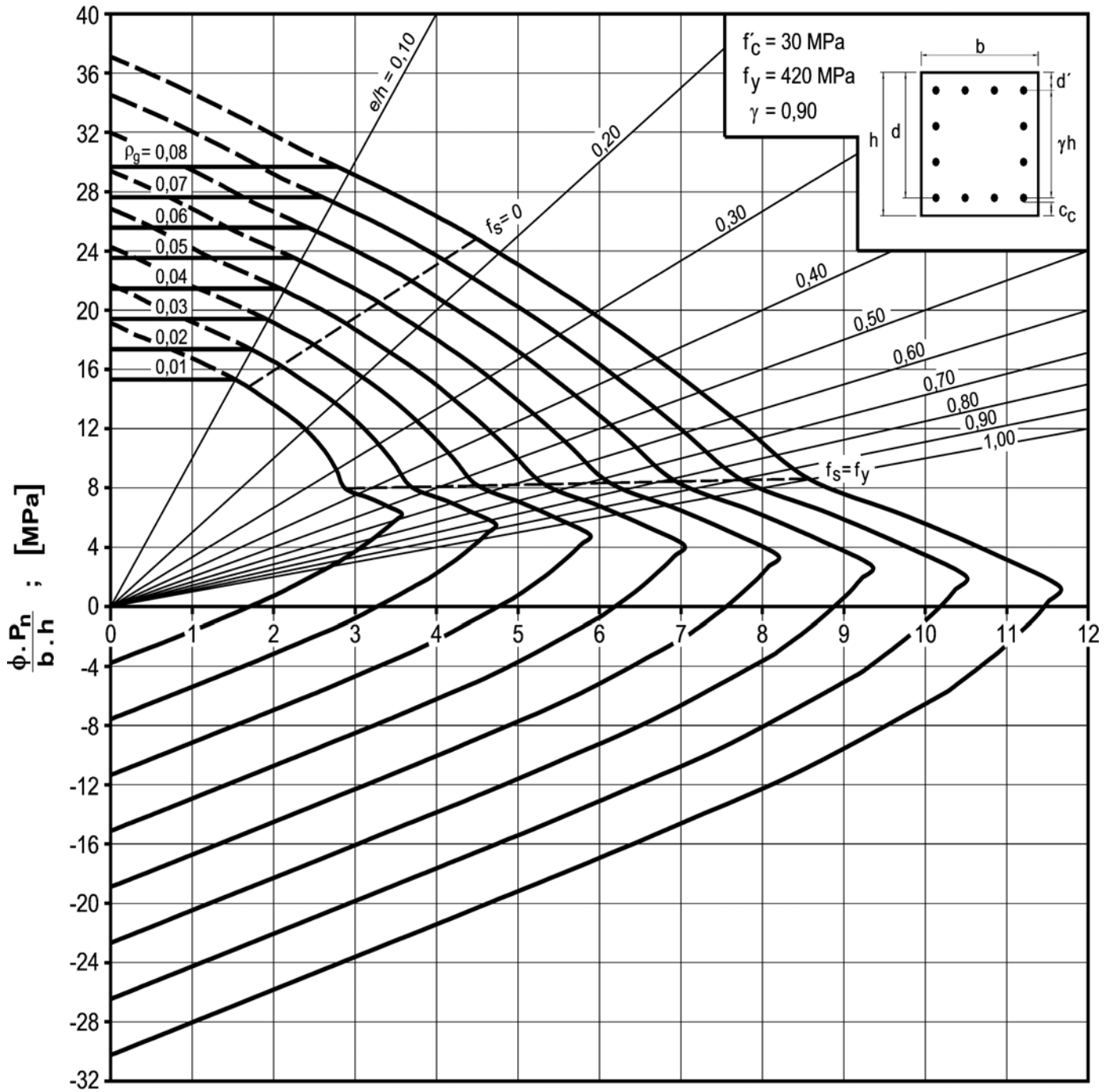


$$\frac{\phi \cdot P_n \cdot e}{A_g \cdot h} = \frac{\phi \cdot M_n}{b \cdot h^2} ; \text{ [MPa]}$$

DIAGRAMA II.14

Diagrama de interacción de la resistencia de secciones rectangulares con barras en sus cuatro lados. $f'_c = 30$ MPa y $\gamma = 0,80$.

DIAGRAMA DE INTERACCIÓN

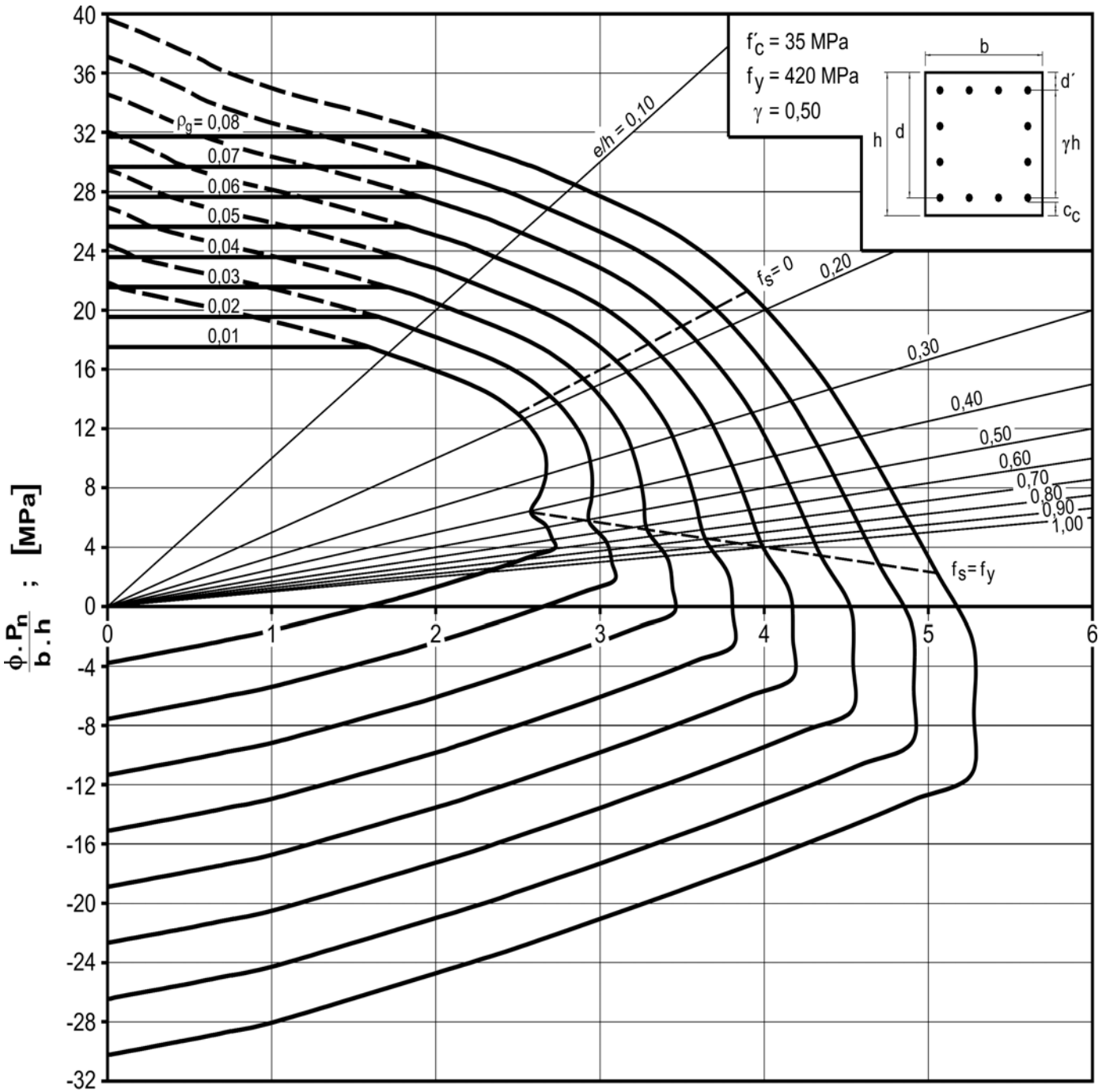


$$\frac{\phi \cdot P_n \cdot e}{A_g} = \frac{\phi \cdot M_n}{b \cdot h^2} ; \text{ [MPa]}$$

DIAGRAMA II.15

Diagrama de interacción de la resistencia de secciones rectangulares con barras en sus cuatro lados. $f'_c = 30 \text{ MPa}$ y $\gamma = 0,90$.

DIAGRAMA DE INTERACCIÓN



$$\frac{\phi \cdot P_n \cdot e}{A_g \cdot h} = \frac{\phi \cdot M_n}{b \cdot h^2} ; \text{ [MPa]}$$

DIAGRAMA II.16

Diagrama de interacción de la resistencia de secciones rectangulares con barras en sus cuatro lados. $f'_c = 35 \text{ MPa}$ y $\gamma = 0,50$.

DIAGRAMA DE INTERACCIÓN

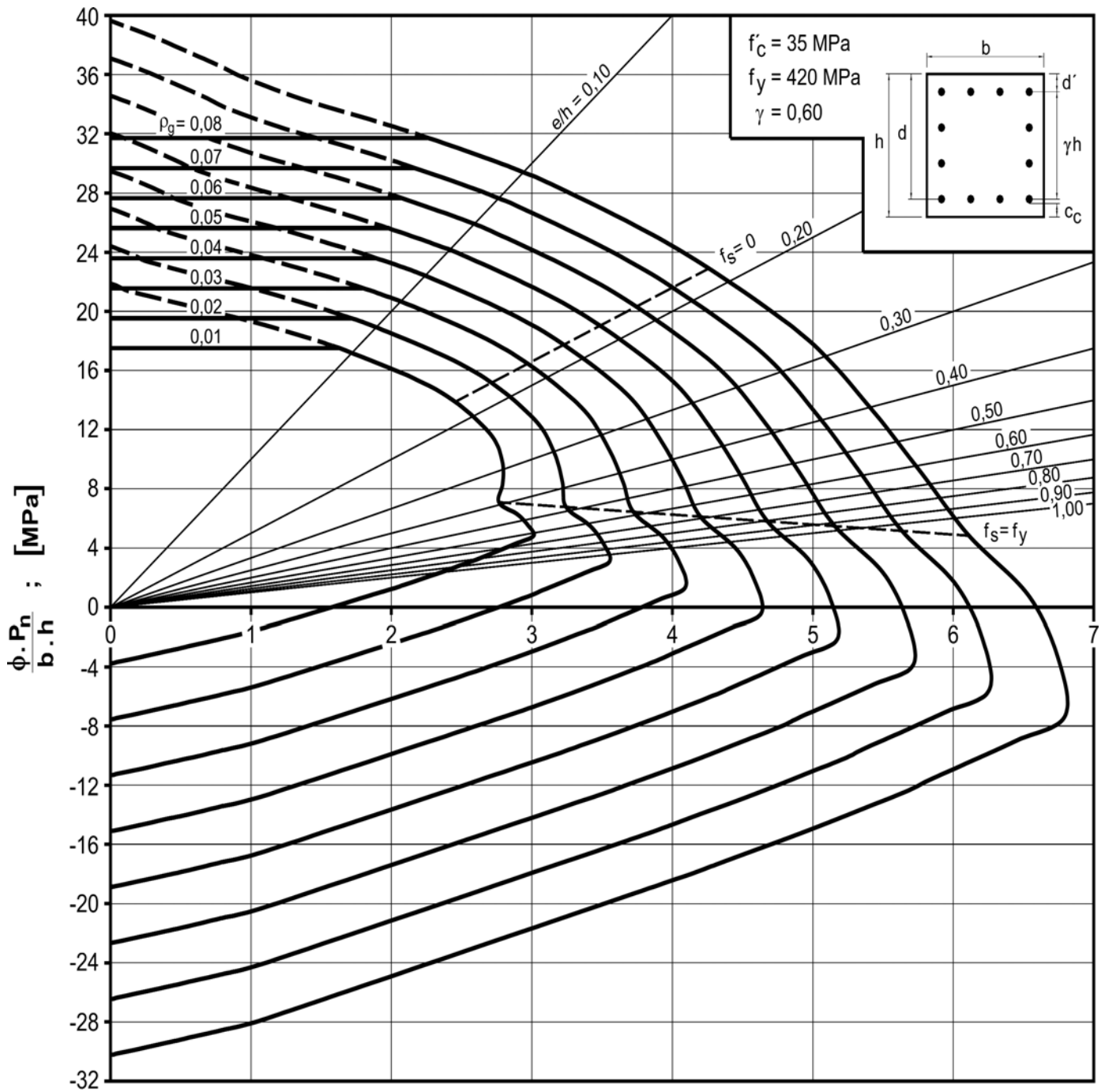
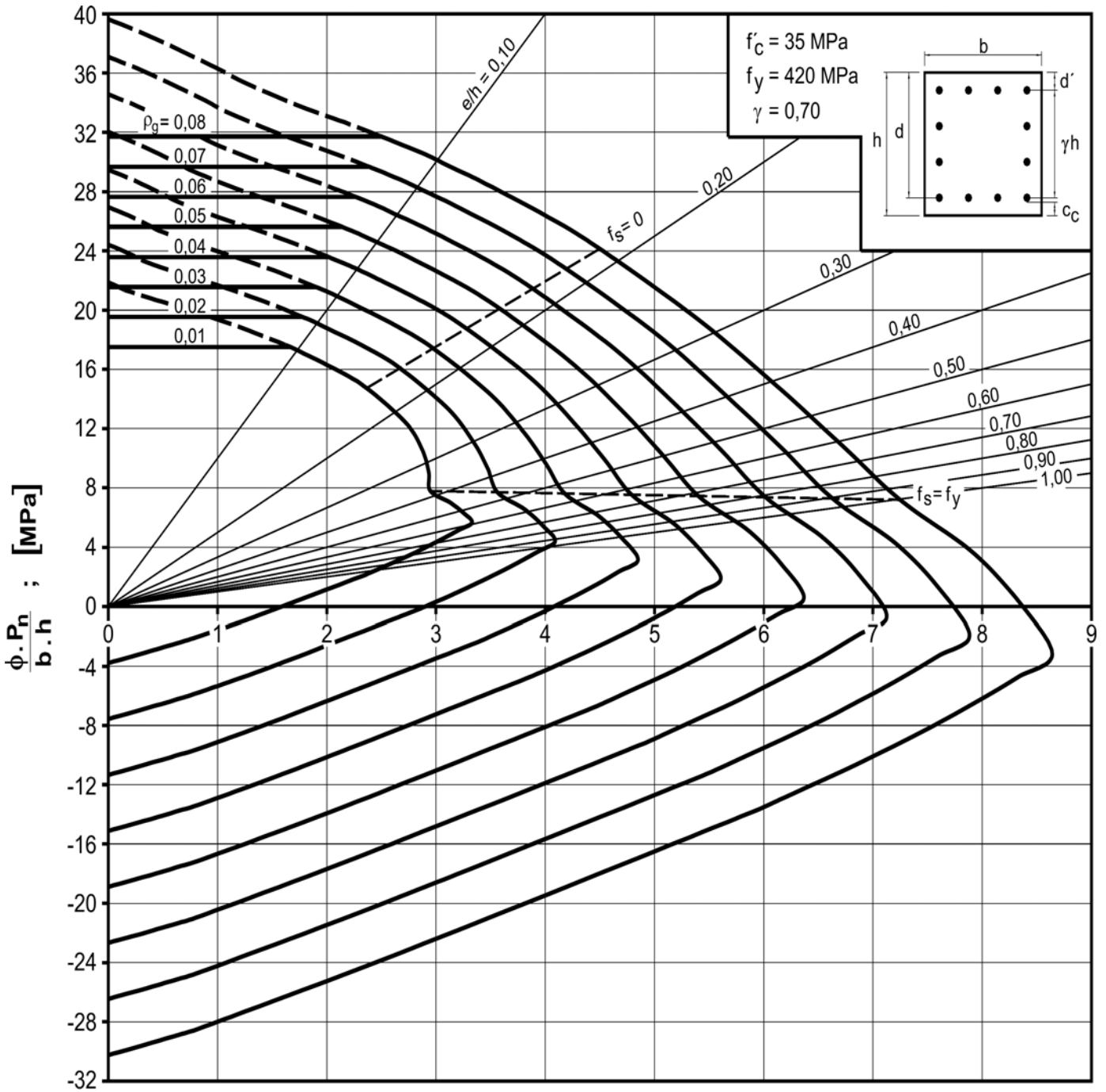


DIAGRAMA II.17

Diagrama de interacción de la resistencia de secciones rectangulares con barras en sus cuatro lados. $f'_c = 35 \text{ MPa}$ y $\gamma = 0,60$.

DIAGRAMA DE INTERACCIÓN



$$\frac{\phi \cdot P_n \cdot e}{A_g} = \frac{\phi \cdot M_n}{b \cdot h^2} ; \text{ [MPa]}$$

DIAGRAMA II.18

Diagrama de interacción de la resistencia de secciones rectangulares con barras en sus cuatro lados. $f'_c = 35 \text{ MPa}$ y $\gamma = 0,70$.

DIAGRAMA DE INTERACCIÓN

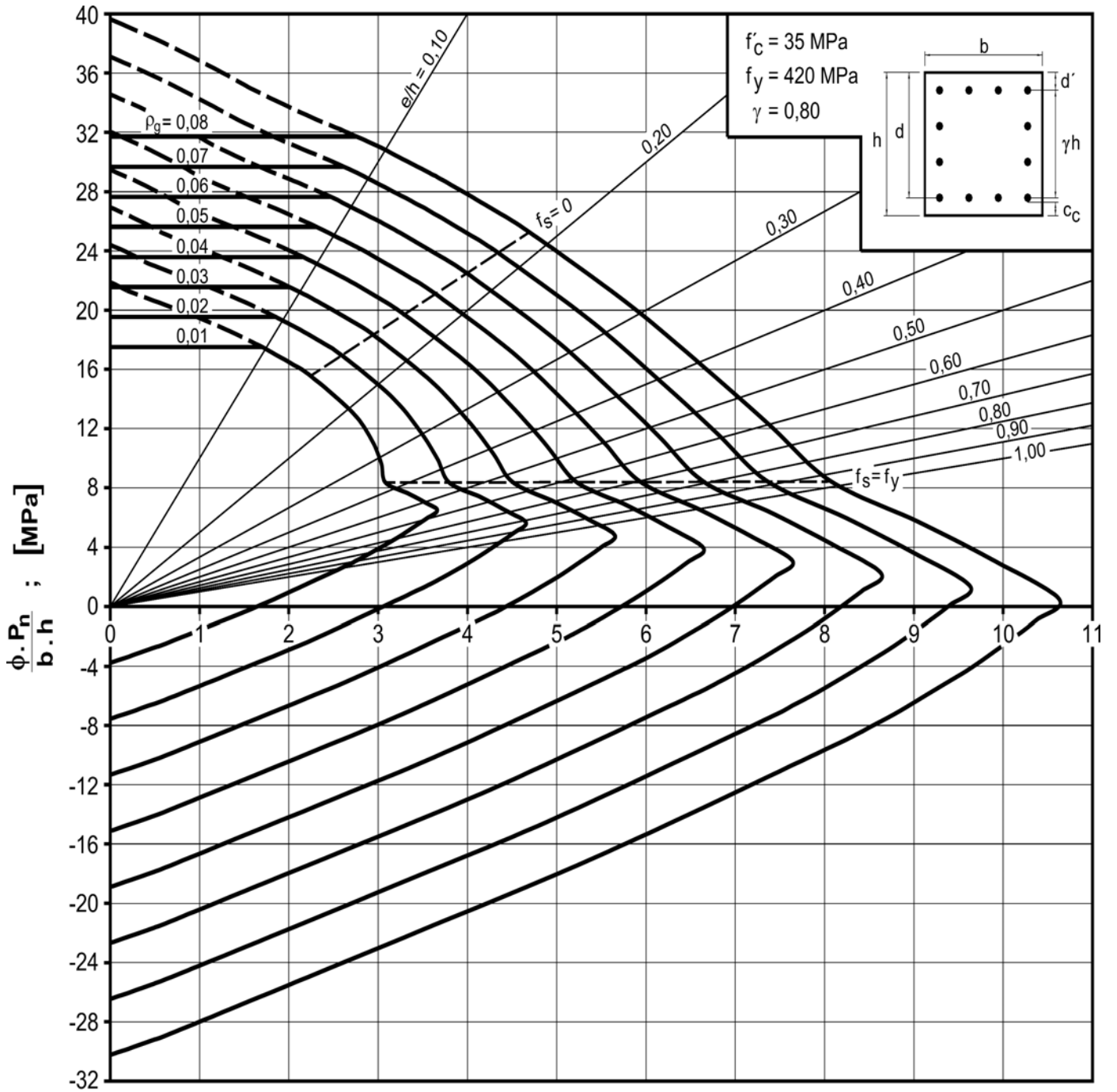
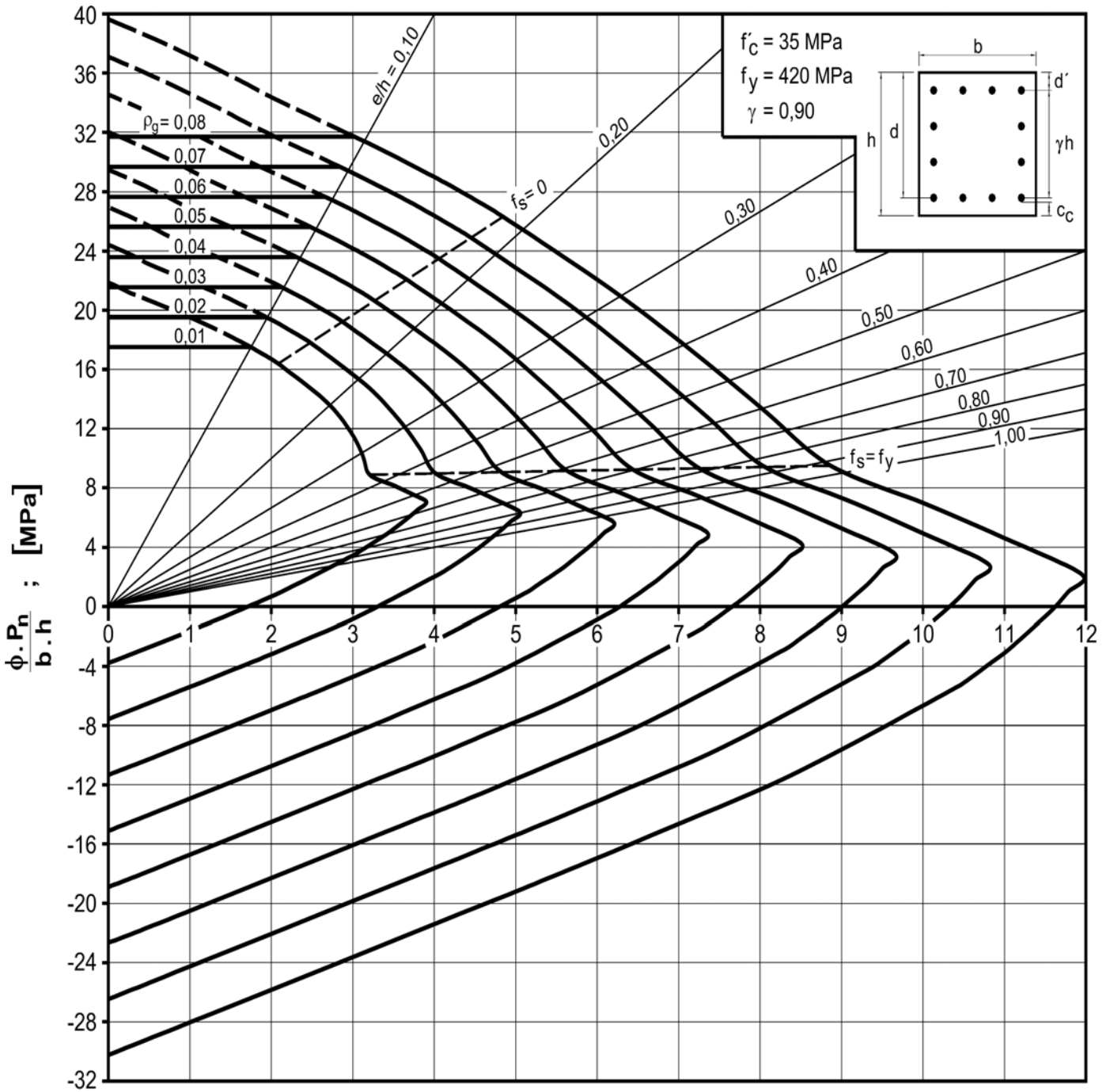


DIAGRAMA II.19

Diagrama de interacción de la resistencia de secciones rectangulares con barras en sus cuatro lados. $f'_c = 35 \text{ MPa}$ y $\gamma = 0,80$.

DIAGRAMA DE INTERACCIÓN



$$\frac{\phi \cdot P_n \cdot e}{A_g \cdot h} = \frac{\phi \cdot M_n}{b \cdot h^2} ; [\text{MPa}]$$

DIAGRAMA II.20

Diagrama de interacción de la resistencia de secciones rectangulares con barras en sus cuatro lados. $f'_c = 35 \text{ MPa}$ y $\gamma = 0,90$.

DIAGRAMA DE INTERACCIÓN

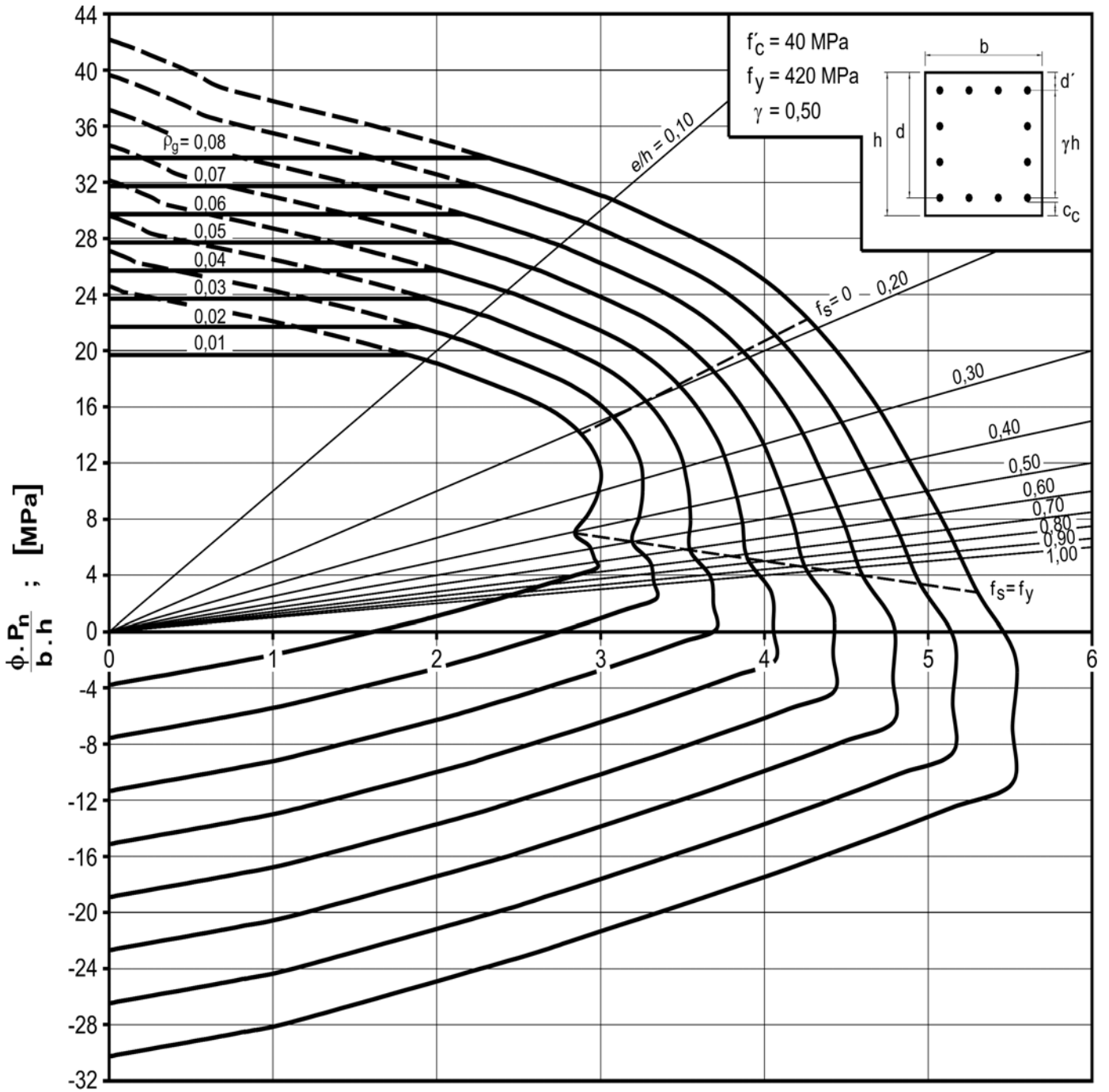


DIAGRAMA II.21

Diagrama de interacción de la resistencia de secciones rectangulares con barras en sus cuatro lados. $f'_c = 40 \text{ MPa}$ y $\gamma = 0,50$.

DIAGRAMA DE INTERACCIÓN

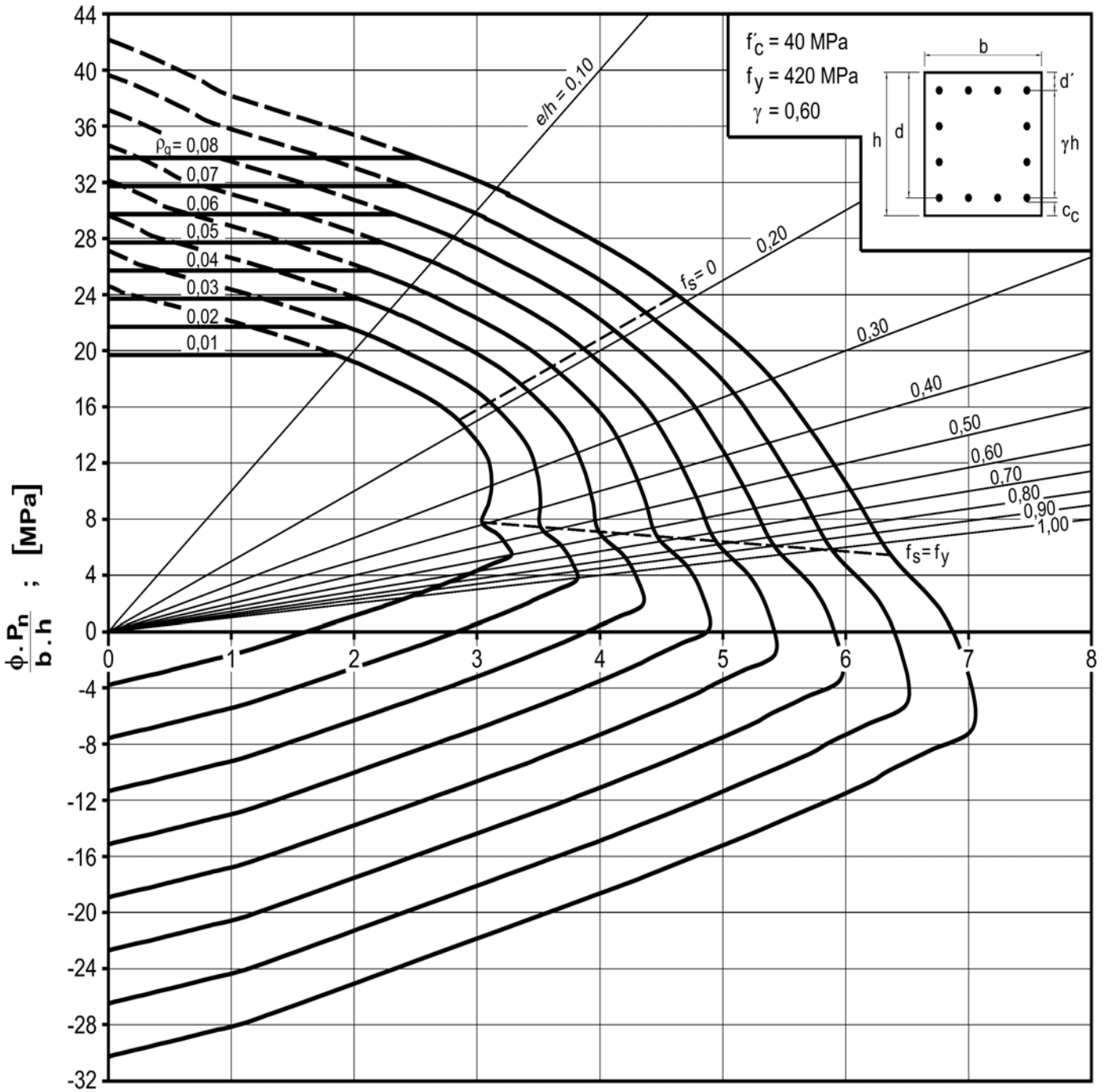
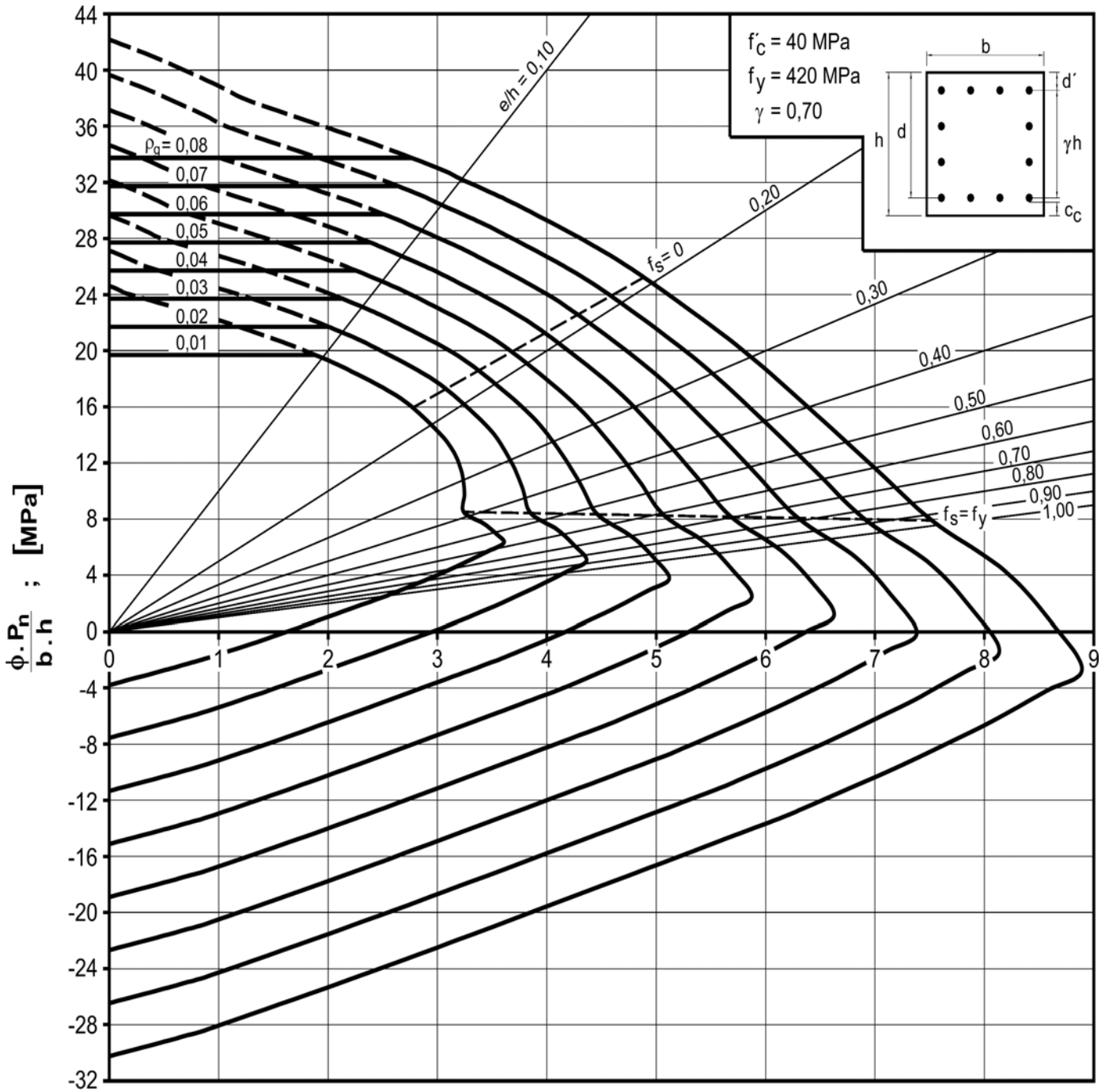


DIAGRAMA II.22

Diagrama de interacción de la resistencia de secciones rectangulares con barras en sus cuatro lados. $f'_c = 40 \text{ MPa}$ y $\gamma = 0,60$.

DIAGRAMA DE INTERACCIÓN



$$\frac{\phi \cdot P_n}{A_g} \cdot \frac{e}{h} = \frac{\phi \cdot M_n}{b \cdot h^2} ; \text{ [MPa]}$$

DIAGRAMA II.23

Diagrama de interacción de la resistencia de secciones rectangulares con barras en sus cuatro lados. $f_c = 40 \text{ MPa}$ y $\gamma = 0,70$.

DIAGRAMA DE INTERACCIÓN

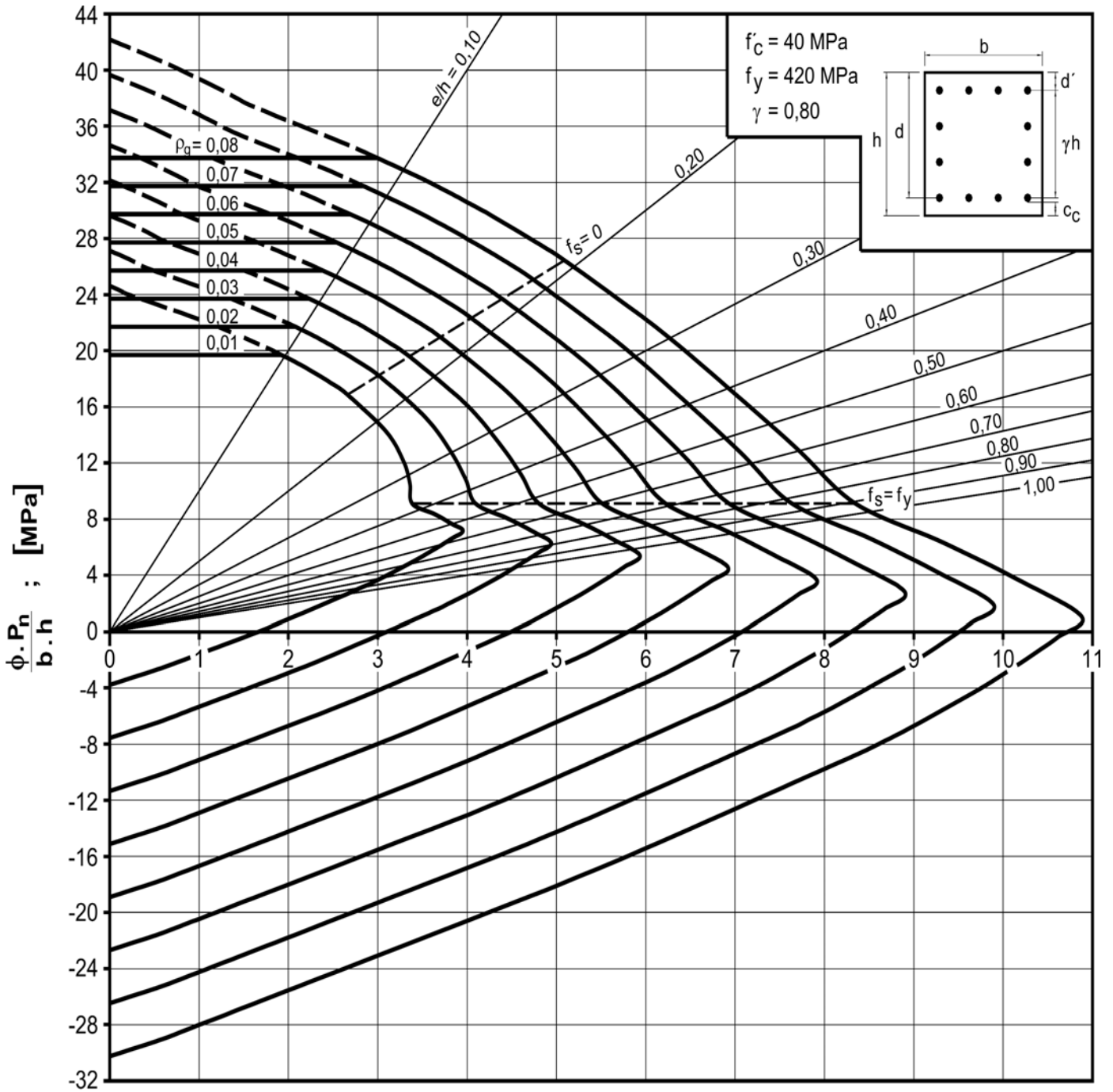


DIAGRAMA II.24

Diagrama de interacción de la resistencia de secciones rectangulares con barras en sus cuatro lados. $f'_c = 40 \text{ MPa}$ y $\gamma = 0,80$.

DIAGRAMA DE INTERACCIÓN

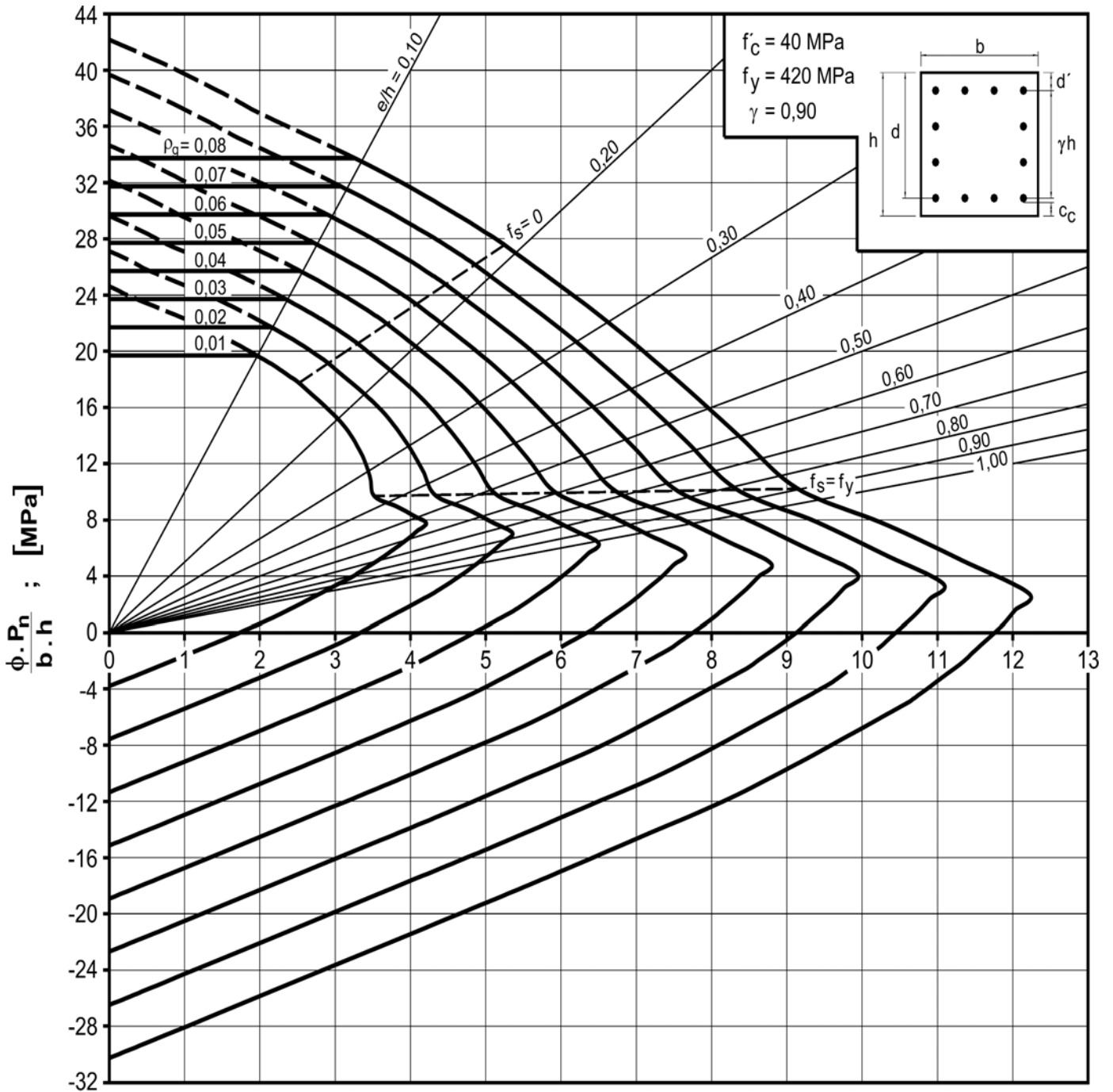


DIAGRAMA II.25

Diagrama de interacción de la resistencia de secciones rectangulares con barras en sus cuatro lados. $f'_c = 40 \text{ MPa}$ y $\gamma = 0,90$.

DIAGRAMA DE INTERACCIÓN

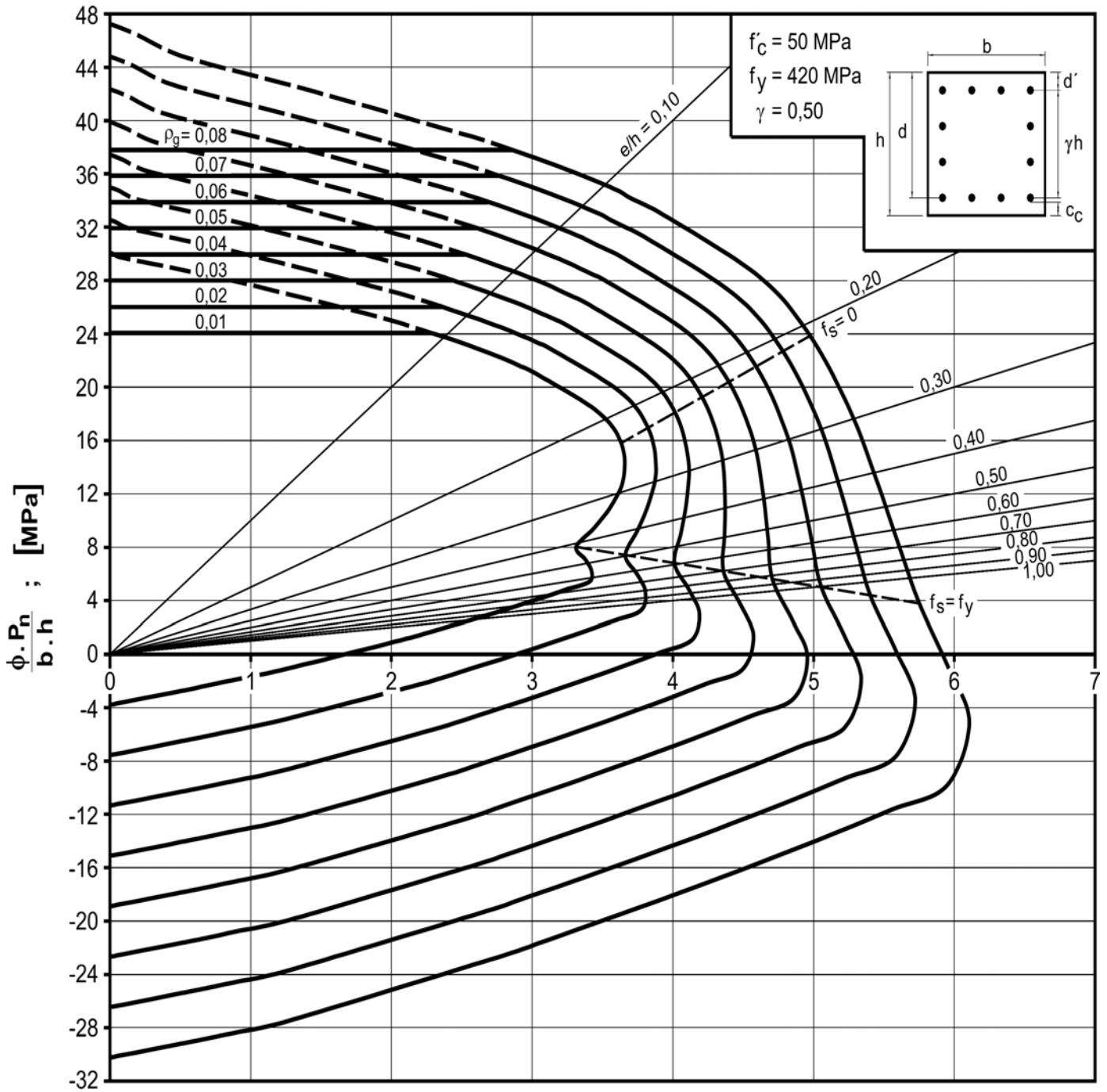
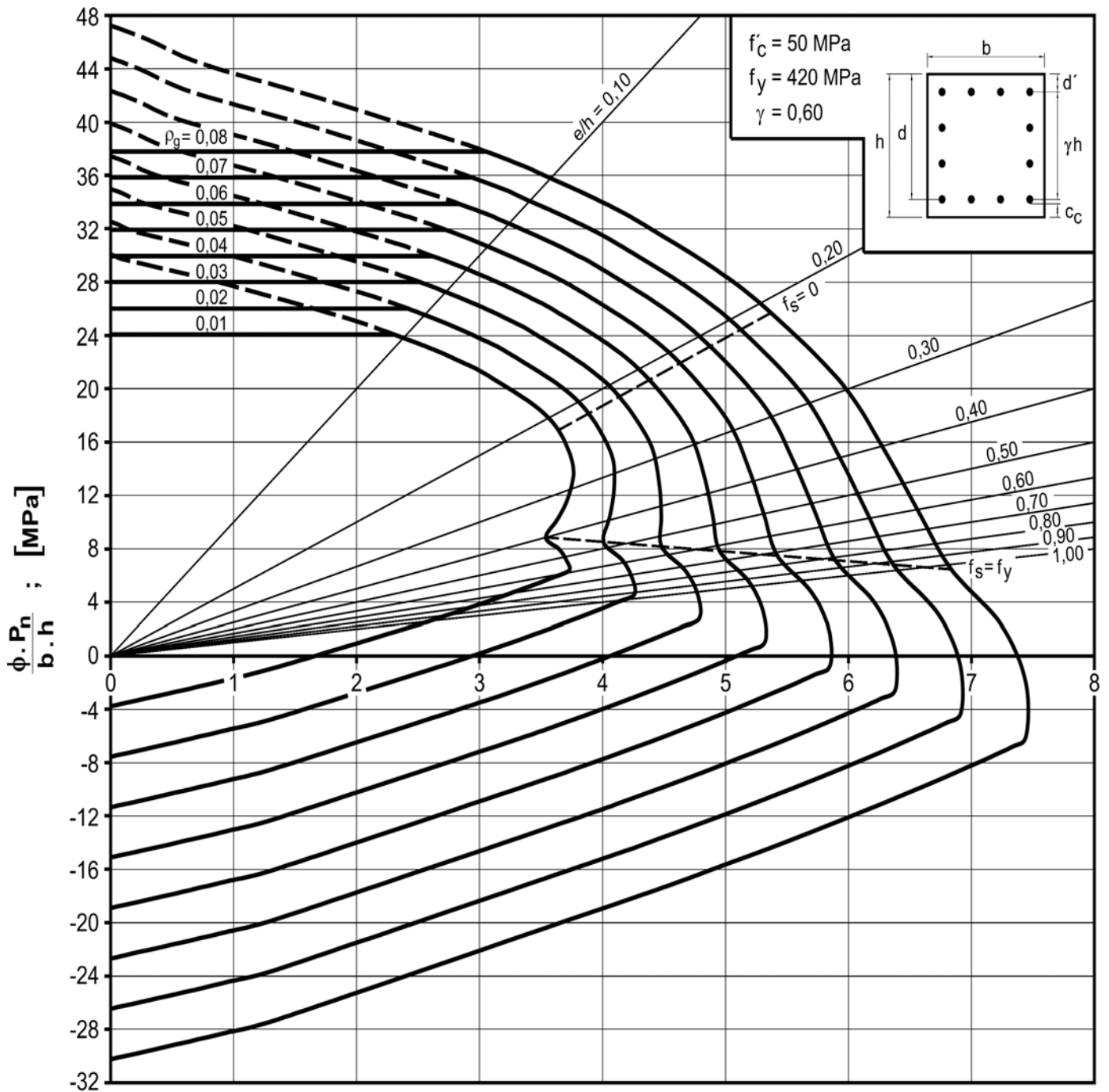


DIAGRAMA II.26

Diagrama de interacción de la resistencia de secciones rectangulares con barras en sus cuatro lados. $f'_c = 50 \text{ MPa}$ y $\gamma = 0,50$.

DIAGRAMA DE INTERACCIÓN

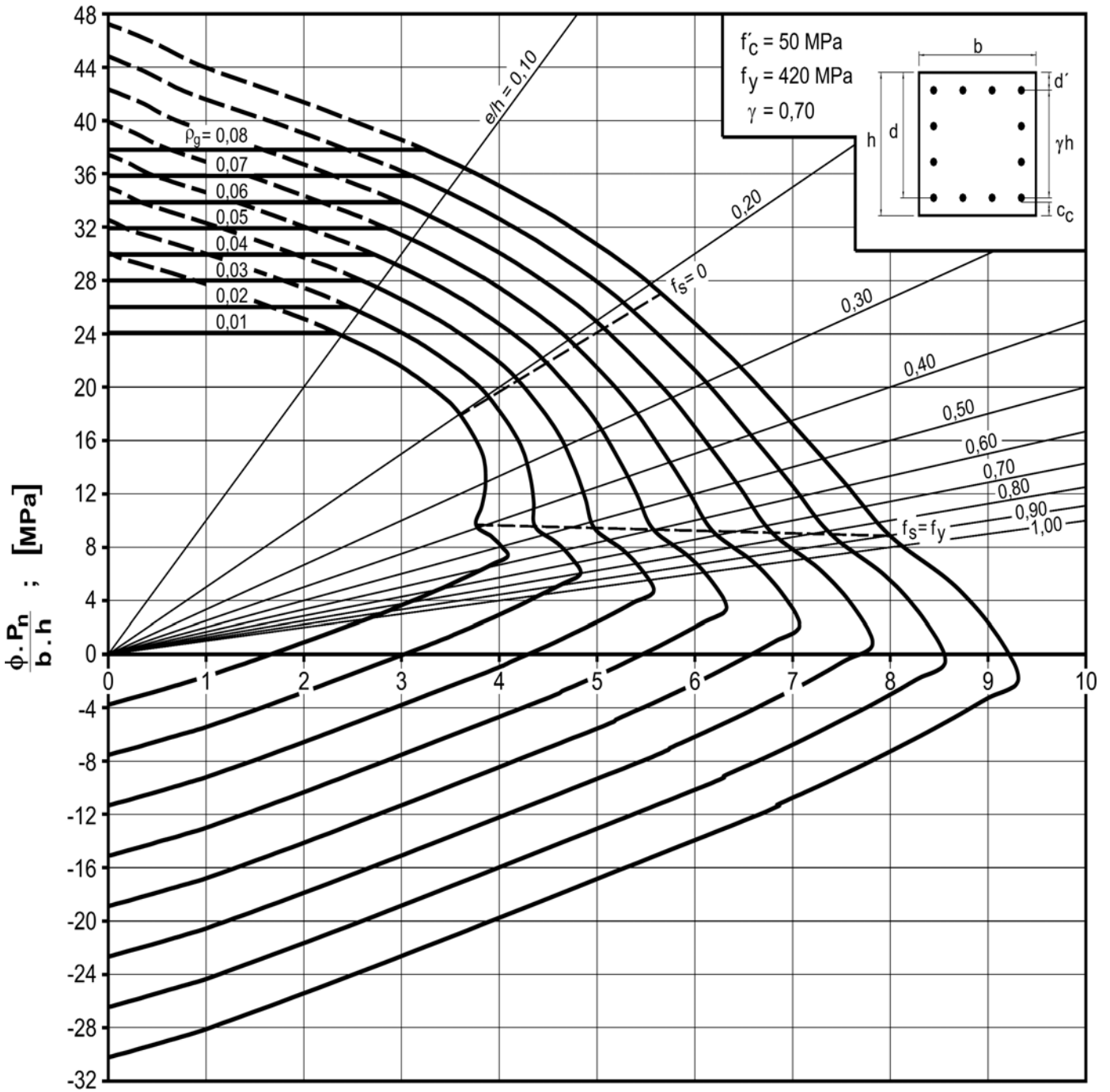


$$\frac{\phi \cdot P_n}{A_g} \cdot \frac{e}{h} = \frac{\phi \cdot M_n}{b \cdot h^2} ; [\text{MPa}]$$

DIAGRAMA II.27

Diagrama de interacción de la resistencia de secciones rectangulares con barras en sus cuatro lados. $f'_c = 50 \text{ MPa}$ y $\gamma = 0,60$.

DIAGRAMA DE INTERACCIÓN



$$\frac{\phi \cdot P_n \cdot e}{A_g \cdot h} = \frac{\phi \cdot M_n}{b \cdot h^2} ; [\text{MPa}]$$

DIAGRAMA II.28

Diagrama de interacción de la resistencia de secciones rectangulares con barras en sus cuatro lados. $f'_c = 50 \text{ MPa}$ y $\gamma = 0,70$.

DIAGRAMA DE INTERACCIÓN

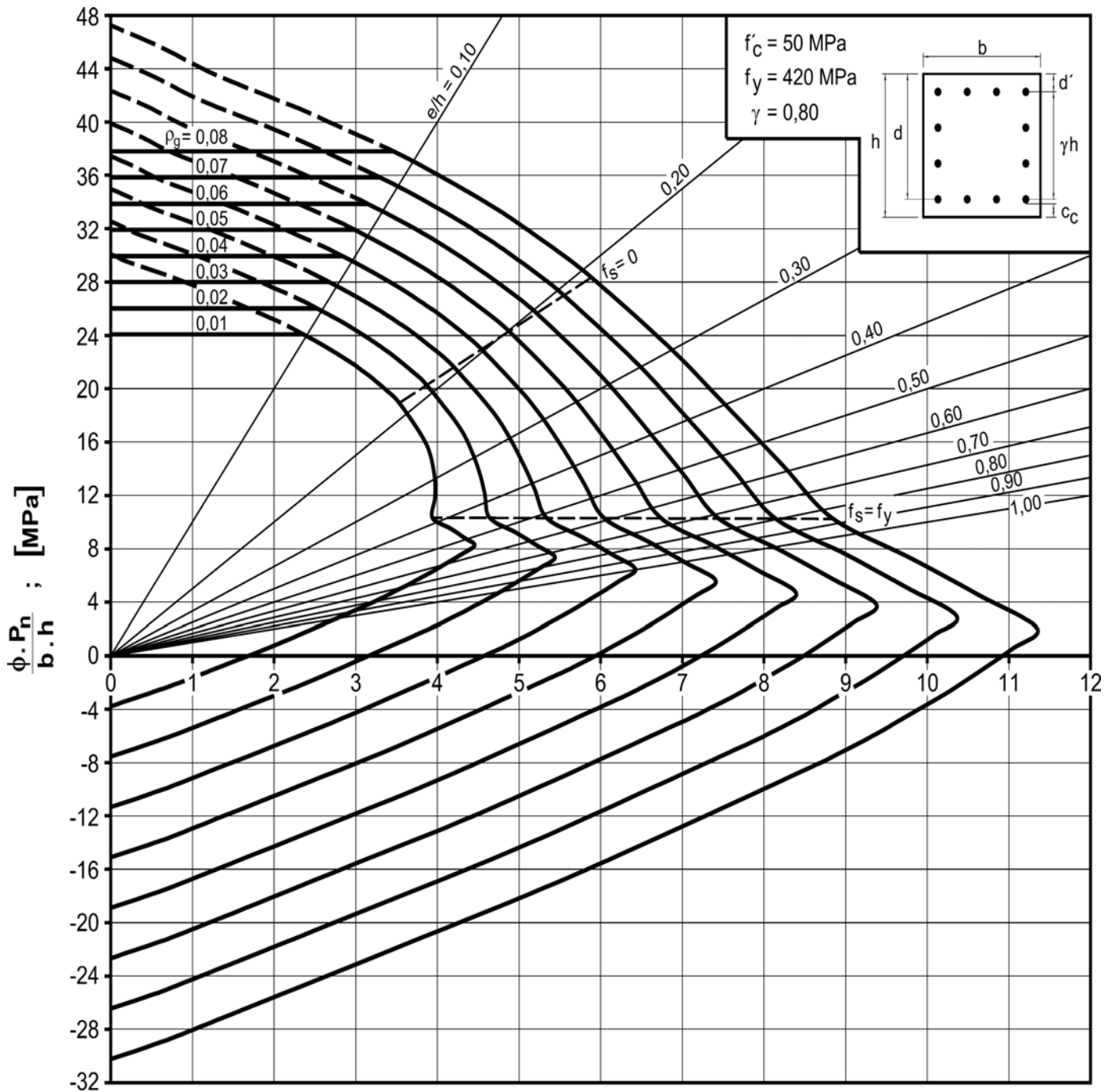


DIAGRAMA II.29

Diagrama de interacción de la resistencia de secciones rectangulares con barras en sus cuatro lados. $f'_c = 50 \text{ MPa}$ y $\gamma = 0,80$.

DIAGRAMA DE INTERACCIÓN

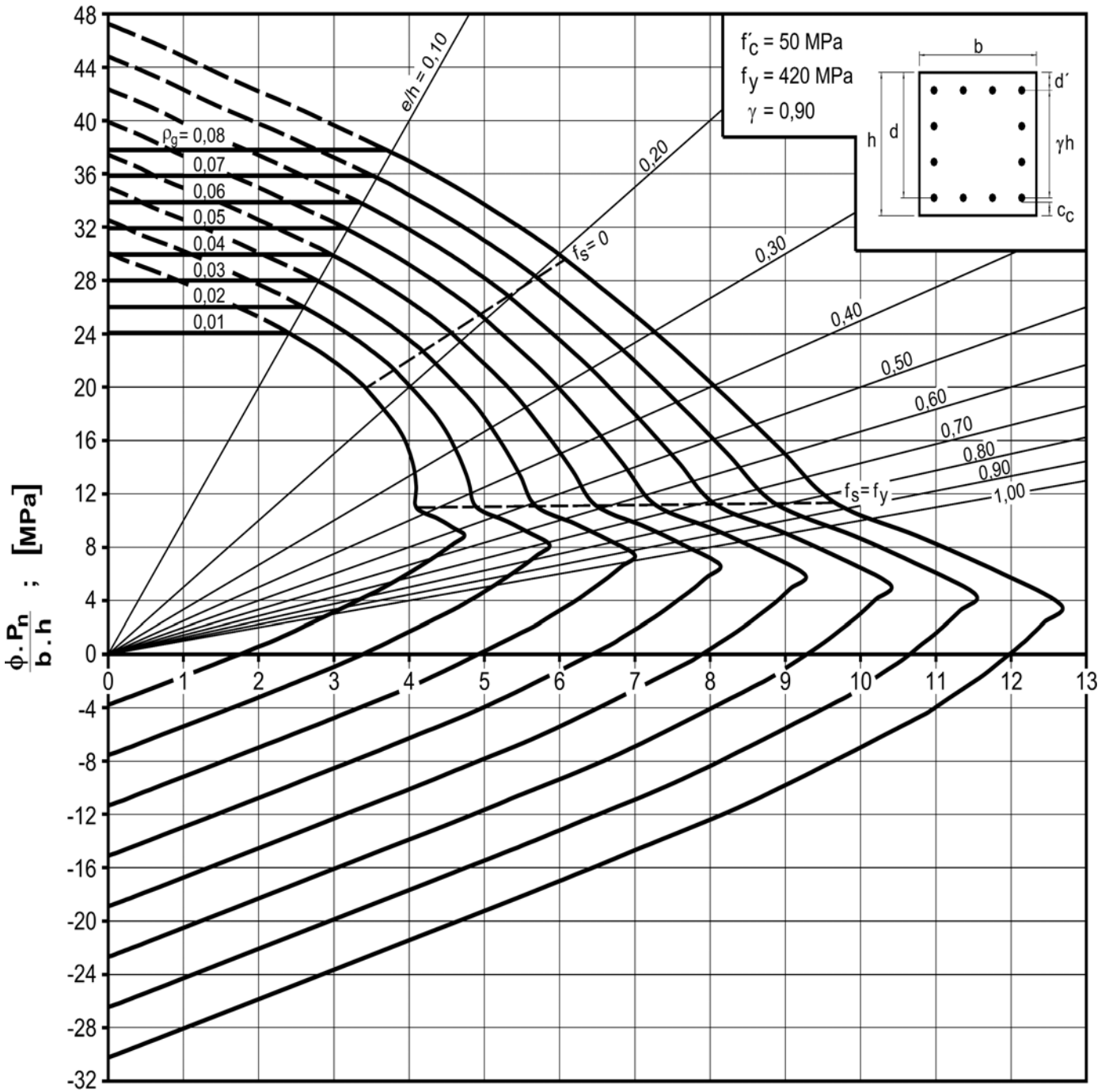


DIAGRAMA II.30

Diagrama de interacción de la resistencia de secciones rectangulares con barras en sus cuatro lados. $f'_c = 50 \text{ MPa}$ y $\gamma = 0,90$.